



MG, MK, MN, MW, MX, MZ, NA, NI, NO, NZ, OM, PG, PH, PL, PT, RO, RU, SC, SD, SE, SG, SK, SL, SY, TJ, TM, TN, TR, TT, TZ, UA, UG, US, UZ, VC, VN, YU, ZA, ZM, ZW.

RO, SE, SI, SK, TR), OAPI (BF, BJ, CF, CG, CI, CM, GA, GN, GQ, GW, ML, MR, NE, SN, TD, TG).

(84) Bestimmungsstaaten (soweit nicht anders angegeben, für jede verfügbare regionale Schutzrechtsart): ARIPO (BW, GH, GM, KE, LS, MW, MZ, SD, SL, SZ, TZ, UG, ZM, ZW), eurasisches (AM, AZ, BY, KG, KZ, MD, RU, TJ, TM), europäisches (AT, BE, BG, CH, CY, CZ, DE, DK, EE, ES, FI, FR, GB, GR, HU, IE, IT, LU, MC, NL, PT,

Veröffentlicht:

— mit internationalem Recherchenbericht

Zur Erklärung der Zweibuchstaben-Codes und der anderen Abkürzungen wird auf die Erklärungen ("Guidance Notes on Codes and Abbreviations") am Anfang jeder regulären Ausgabe der PCT-Gazette verwiesen.

Bildverarbeitungssystem

Beschreibung

Gebiet der Erfindung

Die Erfindung betrifft ein Bildverarbeitungssystem im Allgemeinen und ein Bildverarbeitungssystem zum omnidirektionalen Lesen von optischen Mustern, z.B. von ein- und zweidimensionalen Codes im Besonderen.

Hintergrund der Erfindung

Die Bildverarbeitung zur automatischen Mustererkennung ist eines der anspruchsvollsten und herausragenden Forschungsgebiete derzeit. Die potentiellen Anwendungen sind nahezu unbegrenzt.

Einfache Vorläufer der Mustererkennung sind die weitverbreiteten Laserscanner zum Detektieren von eindimensionalen Strichcodes. Die digitale Bildverarbeitung geht jedoch weit darüber hinaus, da mit ihr nicht nur die Erkennung von eindimensionalen Strichcodes, sondern auch von zweidimensionalen Codes oder komplexen Bildern, insbesondere auch von im Vorhinein unbekannter Struktur möglich ist, bis hin zu einer Erkennung wie sie auch vom Auge in Zusammenarbeit mit dem Gehirn ermöglicht ist.

Eine mögliche Anwendung ist z.B. die Erkennung eines Codes, welcher an beliebiger Stelle eines Kraftfahrzeuges in der Produktionslinie aufgebracht ist, um den Produktionsprozess umfassend überwachen und steuern zu können. Da die Codes im Vergleich zu den Autos relativ klein sind und an unterschiedlichen Stellen angebracht sein können, ist diese Anwendung in Bezug auf die erforderliche Qualität und Auflösung höchst anspruchsvoll. Aber auch die unterschiedliche Beleuchtung in einer Produktionsstraße wirft erhebliche

Schwierigkeiten für die Bilderkennung auf. Dies geht einher mit immer wachsenden Ansprüchen an die Verarbeitungsgeschwindigkeit.

Bildverarbeitungssysteme gehen typischerweise von einem digitalen zweidimensionalen Bild aus, welches z.B. von einer CCD-Kamera bereit gestellt wird. Die von der Kamera gelieferten digitalen weiter verarbeitbaren zweidimensionalen Bilder, werden dann der Mustererkennung zugeführt. Jedoch sind auch andere bildgebende Systeme, z.B. Röntgentomographen, NMR-Tomographen oder Scanner einsetzbar, um nur eine mögliche Auswahl zu nennen.

Die wirkliche Erkennung eines Bildes, d.h. die Erkennung von Strukturen aus denen das Bild zusammengesetzt wahrgenommen wird, ist ein komplexer Vorgang. Eine Grundüberlegung hierbei ist, dass ein Bild in grafische Grundstrukturen zerlegbar ist, welche in ihrer Gesamtheit das Bild repräsentieren. Diese Grundstrukturen sind im einfachsten Fall gerade oder gekrümmte Linien, sie können aber auch von komplexerer Natur sein. Derartige Grundstrukturen werden auch als grafische Primitiven bezeichnet.

Diesbezüglich lässt sich die Erkennung in zumindest zwei Phasen aufteilen. Erstens werden Bildpunkte, welche grundsätzlich einer Grundstruktur zuordenbar sind, herausgefunden und zweitens werden die herausgefundenen Bildpunkte, welche zu derselben Grundstruktur gehören, zusammengefasst, um eben die Form, Lage, Größe etc. dieser Grundstruktur zu bestimmen.

Konkreter steckt die Bildinformation typischerweise in einer Helligkeitsverteilung und ggf. noch in einer Farbverteilung des Bildes. Im Folgenden wird der Einfachheit halber lediglich auf eine monochrome Verarbeitung Bezug genommen, es ist jedoch ersichtlich, dass die Verarbeitung entsprechend auch für verschiedene Farbanteile des Bildes vorgenommen werden kann.

Zunächst geht man von dem zweidimensionalen digitalen Bild, d.h. einer diskreten Matrix aus Bildpunkten oder Pixeln, welche von der Kamera bereitgestellt wird, aus. In der Matrix enthält jeder Bildpunkt zumindest einen Helligkeitswert. Ferner legt man die Annahme zugrunde, dass sich die Bildinformation in einfache Objekte zerlegen lässt, welche durch Linien oder Kanten begrenzt sind, die durch einen besonders großen Helligkeitsgradienten, häufig auch als Diskontinuität bezeichnet, definiert sind.

Um diese Linien oder Kanten zu bestimmen, müssen also zunächst diejenigen Bildpunkte bestimmt werden, die an einer Stelle mit einem besonders großen Helligkeitsgradienten liegen. Hierzu wird die Bildinformation z.B. entlang einer vorbestimmten Richtung bezüglich des Helligkeitswertes abgetastet, um die Diskontinuität aufzuspüren.

Anschließend werden die so gefundenen Diskontinuitätspunkte zu einer bestimmten Kante zugeordnet. Die solchermaßen bestimmten Grundstrukturen repräsentieren schließlich die gesuchten Diskontinuitätskanten, welche eine schematisierte Darstellung des Bildinhaltes repräsentieren. Diese Vorgehensweise wird als Kantendetektion bezeichnet.

Ein möglicher Zugang zu diesem Problem ist das Abtasten der Helligkeit bzw. das Bestimmen der Helligkeitsfunktion entlang einer Richtung. Die Funktion wird anschließend differenziert und einer Schwellwertbetrachtung unterzogen. Wird der Schwellenwert an einer Stelle überschritten, geht man vom Vorliegen einer Kante an dieser Stelle aus.

Ein solches Verfahren ist aus US-Patentschrift 4,910,786 (Eichel) bekannt, welches Intensitäts-Kantenpfade folgendermaßen detektiert.

Es werden die Gradientenmagnitude und -richtung des Bildes in einem Gitter aus Knotenpunkten mittels Gauss-Gradientenoperatoren bestimmt. Die Entscheidung, ob ein Knotenpunkt zu einem Kantenpfad gehört, wird anhand der Gradientenmagnitude getroffen.

Die alleinige Auswertung der Gradientenmagnitude durch einen Schwellwertvergleich ist insbesondere deshalb nachteilig, weil der Kantenort stark von Rauschen und der lokalen Beleuchtungsstärke beeinflusst wird. Die gefundenen Konturpunkte müssen aufwendig nachbearbeitet werden, die hierzu notwendigen Verfahren schränken im wesentlichen Umfang die Echtzeitfähigkeit ein.

Darüber hinaus ist bei diesem Verfahren die Auflösung durch die Bildmatrix beschränkt, so dass die Auflösung für viele Anwendungsgebiete nicht ausreichend ist. Andererseits ist eine starke Verfeinerung der Bildmatrix zur Erhöhung der Auflösung auch nicht ohne weiteres möglich, da sonst die Verarbeitungsdauer explodieren würde.

Somit ist das beschriebene Verfahren nachteilig und eignet sich insbesondere kaum für den Einsatz in dem vorstehend geschilderten anspruchsvollen Anwendungsbeispiel aus der Kraftfahrzeugproduktion. Aber auch viele andere Anwendungen, wie zum Beispiel genaue Kantenvermessungen lassen sich hiermit nur beschränkt durchführen.

Ferner sind neuere Verfahren bekannt, bei welchen die Auflösung des Kamerabildes durch eine Pixelinterpolation gesteigert wird. Diese Verfahren arbeiten jedoch auf Softwarebasis und sind daher zumeist zu langsam, um bei entsprechend hoher Auflösung eine Verarbeitung in Videoechtzeit durchzuführen. Ferner sind solche Systeme unverhältnismäßig aufwändig. Des Weiteren sind die eingesetzten Prozesse nicht ohne weiteres auf Hardware-Lösungen übertragbar.

Allgemeine Beschreibung der Erfindung

Daher ist es eine Aufgabe der vorliegenden Erfindung ein Bildverarbeitungssystem bereit zu stellen, welches eine hohe Auflösung bei gleichzeitig schneller Verarbeitung gewährleistet, um insbesondere eine Verarbeitung in Videoechtzeit zu ermöglichen.

Eine weitere Aufgabe der Erfindung ist es, ein Bildverarbeitungssystem bereit zu stellen, welches eine sichere Erkennung der Bildinformation, insbesondere eine zuverlässige und fehlerarme Kantendetektion und Segmentierung sowie eine effiziente Objektzuordnung bzw. effiziente Komprimierung der Bildinformation gewährleistet.

Noch eine Aufgabe der Erfindung ist es, ein Bildverarbeitungssystem bereit zu stellen, welches kostengünstig, insbesondere in Serienproduktion herzustellen ist.

Noch eine weitere Aufgabe der Erfindung ist es, ein Bildverarbeitungssystem bereit zu stellen, welches die Nachteile bekannter Lösungen vermeidet oder zumindest mindert.

Die Aufgabe der Erfindung wird bereits durch den Gegenstand der unabhängigen Ansprüche gelöst. Vorteilhafte Weiterbildungen der Erfindung sind in den Unteransprüchen definiert.

Erfindungsgemäß wird ein Bildverarbeitungssystem vorgeschlagen, welches insbesondere zum omnidirektionalen Lesen von optischen Mustern, z.B. ein- und zweidimensionalen Codes hergerichtet ist. Das erfindungsgemäße Bildverarbeitungssystem ist aber sogar geeignet, eine Bilderkennung von komplexen Gegenständen durchzuführen.

Das Bildverarbeitungssystem umfasst ein bildgebendes System z.B. eine CCD-Kamera, einen Scanner oder einen Computertomographen etc. zur Bereitstellung eines zunächst analogen Bilddatenstroms. Dabei kann der Bilddatenstrom auch von einer Mehr- oder Vielzahl von Kameras aufgenommen werden (z.B. Stereosysteme, 3D- Verarbeitung, Robotersteuerung, Facettenauge). Der von dem bildgebenden System bereitgestellte analoge Bilddatenstrom wird anschließend mittels eines Analog-Digital-Umsetzers in digitale Bilddaten, genauer, einen digitalen Bilddatenstrom umgesetzt. Vorzugsweise ist noch eine Beleuchtungseinrichtung umfasst, um eine angepasste Ausleuchtung des Bildes zu erreichen.

Der digitale Bilddatenstrom wird weiter von einer digitalen Verarbeitungseinrichtung oder -einheit weiterverarbeitet, wobei die Verarbeitungseinrichtung einen Pipelineprozessor und eine Recheneinrichtung oder einen Mikrorechner unter anderem mit Mitteln zur Kantendetektion umfasst.

Ein Kern des Bildverarbeitungssystems sind mehrere parallel und/oder im Zeitmultiplexverfahren arbeitende Convolver oder Faltungsbaulemente, welche Faltungsoperationen an dem einlaufenden digitalen Bilddatenstrom durchführen. Hierzu werden zunächst Grauwertprofile aus dem Bilddatenstrom erzeugt und gefaltet. Insbesondere wird von den Convolvern eine Kreuzkorrelation der Bilddaten durchgeführt, wozu ein mittelwertfreier Faltungskern verwendet wird.

Insbesondere durch die parallele Hardware-basierte Verarbeitung konnte ein Durchbruch in der Verarbeitungsgeschwindigkeit erzielt werden. So ist es mit dem erfindungsgemäßen Verfahren möglich, die Verarbeitung in Videoechtzeit durchzuführen.

Vorzugsweise werden die digitalen Bilddaten mittels der Hardware-Convolver zeitlich parallel und/oder im Zeitmultiplexverfahren gefaltet, wobei der Bilddatenstrom ein

zumindest zweidimensionales Bild repräsentiert und die Convolver in verschiedenen Richtungen zeitlich parallel arbeiten.

Weiter bevorzugt umfasst das Bildverarbeitungssystem für jede Richtung oder Abtastrichtung einen Kantendetektor mit jeweils zumindest einem Hardware-Convolver. Diesbezüglich hat sich eine Abtastung in vier jeweils um 45° Grad gegeneinander gedrehten Richtungen als vorteilhafter Kompromiss zwischen Hardware-Aufwand und Qualität der Erkennung erwiesen, so dass in diesem Fall vier Kantendetektoren umfasst sind und vier zeitlich parallel arbeitende separate Convolver vorgesehen sind. Insbesondere werden für jede Abtastrichtung parallel Grauwertprofile erzeugt und kreuzkorreliert, um deren Wendepunkt als Nullstelle der Kreuzkorrelation zu bestimmen.

Vorzugsweise wird weiter in jedem Kantendetektor eine paarweise Faltung des einlaufenden Bilddatenstroms durchgeführt, wobei die beiden Convolver eines Paares in derselben Richtung arbeiten. Mit anderen Worten ist für jede Richtung ein Convolverpaar vorgesehen.

Gemäß einem besonders bevorzugten Ausführungsbeispiel besteht jedes Grauwertprofil aus n entlang der Abtastrichtung benachbarten Pixeln. Dadurch entsteht eine $1 \times n$ Umgebung. Weiter wird die paarweise Faltung der ersten $n-1$ Pixel jedes Grauwertprofils und der letzten oder um eins verschobenen $n-1$ Pixel durchgeführt, so dass für jede $n \times n$ Umgebung und für jede Richtung jeweils ein erstes und zweites Faltungsergebnis berechnet wird. Es hat sich hierfür als besonders vorteilhaft erwiesen innerhalb einer 6×6 Umgebung zu arbeiten.

Es wird also der einlaufende digitale Bilddatenstrom in der Verarbeitungseinrichtung, welche insbesondere eine Vorverarbeitungseinheit ist, in einem ersten Hauptprozess mittels der mehreren, insbesondere vier zeitlich parallel

arbeitenden Paare von Convolvern, die in vier jeweils um 45° gedrehten Richtungen arbeiten, innerhalb einer $n \times n$, insbesondere 6×6 Umgebung gefaltet. Diese paarweise verschobene Faltung ermöglicht wie nachfolgend erläutert wird, vielfältige Möglichkeiten der Weiterverarbeitung.

Anschließend werden Konturpunkte erzeugt und mittels eines Entscheider-Bauelements entschieden, ob der jeweilige Konturpunkt gültig oder ungültig ist. Die so erzeugte Untermenge der gültigen Konturpunkte wird anschließend in eine Konturpunktliste in einen Konturpunktspeicher eingetragen. Es wird folglich für jede Richtung jeweils eine Konturpunktliste erstellt.

Die Entscheidung, ob ein Konturpunkt gültig oder ungültig ist, wird in diesem Beispiel folgendermaßen getroffen. Zunächst werden mittels der Faltungsergebnisse der Convolver Operanden für eine logische Entscheidung ermittelt. Das Bildverarbeitungssystem umfasst ferner zumindest einen Entscheider, genauer umfasst jeder Kantendetektor jeweils einen Entscheider, welcher in Abhängigkeit der Faltungsergebnisse oder Operanden eine logische Größe bereitstellt. In Abhängigkeit der logischen Größe wird der Konturpunkt als gültig oder ungültig eingestuft und im Falle der Gültigkeit in die Konturpunktliste eingetragen.

Die logische Entscheidung, ob ein Konturpunkt als gültig eingestuft wird, wird vorzugsweise folgendermaßen getroffen.

Die logische Größe wird von einem booleschen Vektor mit einer Mehrzahl von logischen Variablen repräsentiert. Eine erste der logischen Variablen $B[1]$ hängt von einem Überschreiten eines Schwellenwertes des Absolutbetrages der Differenz der zu einem Convolverpaar gehörenden Faltungsergebnisse ab. Eine zweite der logischen Variablen $B[2]$ hängt von einem Vorzeichenunterschied der zu einem Convolverpaar gehörenden Faltungsergebnisse ab und

eine dritte der logischen Variablen B[4] hängt davon ab, ob eines der zu einem Convolverpaar gehörenden Faltungsergebnisse gleich null ist. Anschließend wird in Abhängigkeit einer logischen Verknüpfung der ersten, zweiten und/oder dritten logischen Variablen die Entscheidung gültig/ungültig getroffen und der Konturpunkt in die Konturpunktliste eingetragen.

Insbesondere wird die logische Verknüpfung als boolesche Verknüpfung $B[1] \text{ AND } \{B[2] \text{ OR } B[4]\}$ gebildet und der Konturpunkt in die Konturpunktliste eingetragen, wenn die logische Verknüpfung WAHR ergibt.

Mit anderen Worten wird ein Konturpunkt genau dann in die Konturpunktliste eingetragen, wenn a) das Faltungsergebnis der zu einem Convolverpaar gehörenden Operanden unterschiedliche Vorzeichen aufweist und die Differenz der Operanden in der vorgegebenen Richtung einen Schwellwert überschreitet oder wenn b) genau ein Operand gleich null ist und die Differenz der Operanden in der vorgegebenen Richtung einen Schwellwert überschreitet.

Die Verwendung der drei vorgenannten logischen Variablen hat sich bereits als zuverlässiges Entscheidungskriterium erwiesen. Allerdings werden vorzugsweise weitere Variablen zur Entscheidung herangezogen, was die Zuverlässigkeit weiter erhöht. In der Praxis werden insgesamt sechs boolesche Variablen eingesetzt, wobei die übrigen z.B. von der Schwellenwertüberschreitung eines Kontrastwertes und eines weiteren Gradienten abhängt.

Der Kontrastwert wird z.B. als Differenz der Summe der jeweils zwei äußeren Pixel der für die Faltung verwendeten 1×6 Umgebung ermittelt. Eine andere Möglichkeit zur Definition des Kontrastwertes ist z.B. die Differenz der Faltungsergebnisse. Der Kontrastwert wird jedoch nicht nur als weiteres Entscheidungskriterium für die Gültigkeit eines Konturpunktes

verwendet, sondern der Konturpunkt wird, sofern er als gültig eingestuft wird, zumindest mit dem zu den Werten X-Position, Y-Position zugehörigem Kontrastwert in einen Speicher eingetragen. Der Kontrastwert wird vorteilhafter Weise später noch zur Bestimmung eines Nachbarschaftskriteriums verwendet.

Damit ist der erste Hauptprozess abgeschlossen.

Ein weiterer Aspekt der Erfindung liegt in der Verwendung eines Nachbarschaftsprozessors, welcher die Konturpunkte ausliest und verkettet.

Diese Verkettung ist Teil eines zweiten Hauptprozesses, welcher dem ersten Hauptprozess zeitlich nachfolgt. Hierbei werden die Konturpunkte ($P(X,Y,Kontrastwert)$) benachbarter Zeilen und/oder Spalten von dem Nachbarschaftsprozessor ausgelesen und anschließend bei Erfüllung eines Nachbarschaftskriteriums verkettet und wiederum in eine Konturpunktliste eingetragen.

Insbesondere wird das Nachbarschaftskriterium als eine Funktion des Konturpunktabstandes und/oder der Kontrastwerte der benachbarten Konturpunkte bestimmt. Diese Klassifikation nach Abstand und/oder Kontrast bzw. Grauwert hat sich als besonders geeignet erwiesen, um zusammenhängende und getrennte Objekte als solche zu erkennen.

Eine weitere Ausbildung der Erfindung liegt darin begründet, eine Segmentliste als eine um zumindest eine Segmentnummer ergänzte Konturpunktliste zu erstellen.

Weiter vorzugsweise wird in der Verarbeitungseinrichtung eine Objektzuordnung der Konturpunkte durchgeführt.

Hierzu wird in einem dritten Hauptprozess, welcher dem zweiten Hauptprozess zeitlich nachfolgt, die Segmentliste durch einen Statistikprozessor ausgelesen. Der Statistikprozessor berechnet

statistische Momente für die Objekte, insbesondere statistische Momente für die Objekte jeder Richtung.

Die statistischen Momente werden bevorzugt bis zur zweiten, dritten und/oder vierten Ordnung, insbesondere für die Objekte jeder Richtung berechnet.

Die gesamte Verarbeitung kann in Videoechtzeit abgearbeitet werden, da die Bilddaten als Bilddatenstrom der Verarbeitungseinrichtung zugeführt werden und die Konturpunktliste bereits während des Zuführens des Bilddatenstroms erzeugt wird.

Insbesondere wird für jede Abtastrichtung eine separate Konturpunktliste angelegt. Genauer werden die Konturpunktlisten in einem oder mehreren Speichern zur Laufzeit des Bildes angelegt und beim Wiederauslesen aus dem Konturpunktspeicher vor der Verarbeitung durch den Nachbarschaftsprozessor nach Richtungen sortiert und partitioniert abgelegt. (Wie unten beschrieben)

Ein großer Vorteil des erfindungsgemäßen Bildverarbeitungssystems liegt jedoch ferner darin begründet, dass eine Pixelinterpolation zur Reduzierung des Digitalisierungsrauschens durchgeführt werden kann, so dass eine Auflösung erzielt wird, welche besser ist, als die Auflösung des von der Kamera bereitgestellten Bildes. Mit anderen Worten wird eine Subpixel-Auflösung erzielt und es werden die Konturpunkte in der Konturpunktliste mit Subpixelauflösung abgespeichert. Dies ist insbesondere mit den bekannten Schwellenwertverfahren bislang nicht möglich gewesen.

Gemäß einer weiter bevorzugten Ausführungsform der Erfindung wird noch zumindest ein Gradient für jede Abtastrichtung berechnet und vorzugsweise in der Konturpunktliste abgespeichert. Der oder die Gradienten entsprechen insbesondere

einem Kontrastwert in Abtastrichtung und können als Maß für die Qualität des Konturpunktes und als Nachbarschaftskriterium verwendet werden.

Als ein Entscheidungskriterium für das Eintragen eines Konturpunktes in die zugehörige Konturpunktliste wird ferner die Differenz der beiden Faltungsoperationen derselben Richtung berechnet, welche in Abtastrichtung um ein Pixel verschoben sind.

Insbesondere werden zur Laufzeit des Bildes ein Gradient oder mehrere Gradienten und die Differenz der beiden Faltungsergebnisse in der jeweiligen Filterrichtung berechnet und zumindest einer der Gradienten und/oder die besagte Differenz als Kontrast innerhalb der Konturpunktliste abgespeichert. Anschließend wird der Inhalt der Konturpunktliste für jede Richtung in einen ersten Speicher kopiert.

Vorzugsweise ist der erste Speicher bezogen auf die erste Verarbeitungseinrichtung ein externer Speicher, wobei der Inhalt der Konturpunktliste aus der Verarbeitungseinrichtung für jede Richtung und nach jeder Zeile des bildgebenden Systems in den ersten Speicher kopiert wird.

Vorzugsweise wird in der Verarbeitungseinrichtung noch eine Segmentierung der Konturpunkte durchgeführt.

Gemäß einer Weiterbildung der Erfindung kopiert hierzu eine Schnittstelle oder ein Interface einer Datenspeichereinheit nach Bearbeitungsfortschritt des Nachbarschaftsprozessors die aktuelle Zeile der Konturpunktliste getrennt nach Richtungen in einen zweiten Speicher, genauer in einen Arbeitsspeicher des Nachbarschaftsprozessors.

Bevorzugt stellt der Nachbarschaftsprozessor anschließend mit einem Nachbarschaftskriterium Nachbarschaften der Konturpunkte fest, segmentiert die Konturpunkte und/oder trägt die Segmentnummern und Koinzidenzen in eine erweiterte Konturpunktliste ein. Das Nachbarschaftskriterium von Konturpunkten wird über den Abstand und den Kontrastvergleich berechnet. Als Abstandsmaß kann z.B. der Euklidische Abstand oder aber ein anderes Abstandsmaß verwendet werden.

Weiter bevorzugt berechnet ein Statistikprozessor auf Grundlage der Konturpunktliste statistische Momente.

Die somit ermittelten Daten, nämlich die Abtastrichtung, die statistischen Momente, die Größe der Umgebung und der Gradient oder Kontrast werden nun über eine Ausgangsschnittstelle in folgendem Ausgabeformat ausgegeben [Richtung(DIR), Momente(S), Segmentnummer (SegNo), Kontrast(CONT)].

Im Folgenden wird die Erfindung anhand von Ausführungsbeispielen und unter Bezugnahme auf die Zeichnungen näher erläutert, wobei gleiche und ähnliche Elemente teilweise mit gleichen Bezugszeichen versehen sind.

Kurzbeschreibung der Figuren

Es zeigen:

- Fig. 1 ein Grauwertbild eines zweidimensionalen Datamatrixcodes,
- Fig. 2 eine Ausschnittsvergrößerung aus Fig. 6,
- Fig. 3 eine Auswahl eines Kantenprofils für die Richtung 90° zur Erzeugung von zwei Grauwertprofilen zur parallelen Faltung,
- Fig. 4 eine grafische Darstellung des Verlaufs der ersten Ableitung eines typischen Grauwertprofils nach dem Ort,

- Fig. 5 eine Darstellung der Längenerweiterung der X- und Y-Koordinate für die Subpixelinterpolation,
- Fig. 6 eine grafische Darstellung der Konturpunktliste in Richtung 90°,
- Fig. 7 die Berechnung der Subpixelgenauen Koordinaten,
- Fig. 8 die Datenstruktur der Konturpunktliste
- Fig. 9 einen beispielhaften Ausschnitt einer hexadezimalen Konturpunktliste ("Hexdump"),
- Fig. 10 eine grafische Darstellung der approximierten und gefilterten digitalen Strecken,
- Fig. 11 ein Blockschaltdiagramm des erfindungsgemäßen Bildverarbeitungssystems,
- Fig. 12 ein Blockschaltdiagramm eines erfindungsgemäßen Kantendetektors,
- Fig. 13 ein Blockschaltdiagramm eines erfindungsgemäßen Entscheiders,
- Fig. 14 ein Blockschaltdiagramm eines Hardware Dividierers,
- Fig. 15 bis 17 die Arbeitsweise des Nachbarschaftsprozessors im Raster,
- Fig. 18 einen Programmablaufplan der Abstandsvektor- und Segmentnummerberechnung,
- Fig. 19 ein Blockschaltdiagramm des Nachbarschaftsprozessors,
- Fig. 20 ein Blockschaltdiagramm des Segmentnummerngenerators,
- Fig. 21 eine Hardwareberechnung der Gültigkeit eines Konturpunktes in dem Kantendetektor und dem Entscheider gemäß Fig. 12 und 13, aufgeschlüsselt nach der Prozessortaktung,
- Fig. 22 eine Darstellung einer Kontur mit vier Abtastrichtungen und
- Fig. 23 eine schematische Darstellung des Bildverarbeitungssystems mit einem zu erkennenden Code auf einem Kfz.

Detaillierte Beschreibung der Erfindung

Das erfindungsgemäße omnidirektionale Bildverarbeitungssystem 1 (Fig. 11) oder der Codeleser umfasst ein bildgebendes System 2, einen Analog-Digitalumsetzer 4, eine digitale Verarbeitungseinrichtung 6, eine Recheneinrichtung 8, einen nicht gezeigten Mikrorechner und eine optionale Beleuchtungseinrichtung 9 (Fig. 23).

In dem im Folgenden detailliert beschriebenen Ausführungsbeispiel wird die Funktion anhand einer digitalen CCD-Matrixkamera 10 erläutert. Diese Kamera 10 repräsentiert eine beispielhafte Ausführungsform des bildgebenden Systems 2 und des Analog-Digitalumsetzers 4 und erzeugt kontinuierlich oder getriggert digitale Bilddaten in Form eines digitalen Bilddatenstroms 12. Das bildgebende System 2 kann jedoch auch ein Scanner, Computertomograph oder ähnliches, z.B. auch eine Anordnung von mehreren bildgebenden Systemen, sein. Die Bilddaten sind in einer zweidimensionalen Darstellung in Fig. 1 als Grauwertbild dargestellt. Fig. 1 zeigt gemäß diesem Beispiel einen leicht gedrehten Datamatrixcode 18, der decodiert werden soll.

Erster Hauptprozess

Erfindungsgemäß wird in einem ersten Hauptprozess oder ersten Verarbeitungsschritt in der digitalen Verarbeitungseinrichtung oder Vorverarbeitungseinheit 6 in Videoechtzeit eine Konturpunktliste 20 erzeugt, welche in einer bildlichen zweidimensionalen Darstellung in Fig. 6 dargestellt ist. Die digitale Verarbeitungseinrichtung 6 ist als Pipelineprozessor ausgebildet.

Fig. 2 zeigt die bildliche Darstellung eines Ausschnitts aus der Konturpunktliste nach Fig. 6.

Die Messgenauigkeit der Konturpunktkoordinaten beeinflusst direkt die Approximationsqualität des dem Code zugrunde

liegenden Rasters und damit die Leserate. Der Ort eines Konturpunkts 22 ist bestimmt durch die Lage des Wendepunktes des Grauwertprofils, das im Wesentlichen senkrecht zur Konturrichtung abgetastet wird. Erfindungsgemäß werden für jeden Bildpunkt die Wendepunkte von 4 Grauwertprofilen unter den Winkeln 0° , 45° , 90° und 135° in Videoechtzeit mit Subpixelgenauigkeit berechnet. Der Wendepunkt wird über die Nullstelle der Kreuzkorrelationsfunktion aus dem Grauwertprofil in der vorgegebenen Richtung und der normierten ersten Ableitung des Grauwertprofils einer typischen Kante nach dem Ort berechnet, Fig.4.

Dies wird zunächst am Beispiel der Richtung 90° erläutert.

Fig. 3 zeigt die Auswahl eines Kantenprofils für die Richtung 90° entsprechend Fig. 2. In einem schnellen RAM ist die lokale 6×6 Umgebung NBD (Neighbourhood = Nachbarschaft) eines Pixels als Teilbild gespeichert, innerhalb derer, wie nachstehend erläutert ist, gefaltet wird. Hieraus wird pixelsynchron ein erstes Grauwertprofil (GP) für die Richtung 90° mit

$$GP90_0 := [NBD[3,1], NBD[3,2], NBD[3,3], NBD[3,4], NBD[3,5]]$$

und ein zweites um ein Pixel verschobenes Grauwertprofil

$$GP90_1 := [NBD[3,2], NBD[3,3], NBD[3,4], NBD[3,5], NBD[3,6]]$$

erzeugt.

Fig. 4 zeigt die grafische Darstellung des Verlaufs der ersten Ableitung 24 des typischen Grauwertprofils für die Richtung 90° nach dem Ort. Beispielhafte Werte für einen mittelwertfreien Faltungskern sind z.B.

$$CONV := -5.50 \begin{bmatrix} -0.971, & 0.471, & 1, & 0.471, & -0.971 \end{bmatrix}.$$

Der Faltungskern ist für die Abtastrichtungen 0° und 90 ° bzw. für 45° und 135° jeweils gleich, er kann auch für alle Abtastrichtungen gleich sein. Für die Richtung 90° werden nun die beiden zeitlich parallel berechneten Faltungsprodukte F90_0 und F90_1 als:

$$F90_0 := \sum_{i=1}^5 GP90_0_i CONV_i$$

$$= GP90_0 \times CONV$$

$$F90_1 := \sum_{i=1}^5 GP90_1_i CONV_i$$

$$= GP90_1 \times CONV$$

berechnet. Diese Berechnung ist als Kreuzkorrelation bekannt, wobei in diesem Beispiel 5-Pixel-Operatoren verwendet werden. Hardwareseitig werden hierfür zeitlich parallel oder im Zeitmultiplexverfahren arbeitende Hardware-Convolver zur Berechnung der zwei parallelen Faltungsprodukte F90_0 und F90_1 eingesetzt, wobei die Berechnung jeweils innerhalb der Dauer eines Bildpunktes abgeschlossen ist.

Ferner werden der Kontrast

$$CONT90 := NBD[3,1] + NBD[3,2] - NBD[3,5] - NBD[3,6]$$

sowie andere, nachstehend noch erläuterte Funktionen durch Hardware berechnet. Unter der Bedingung, dass der Betrag $\text{abs}(CONT90)$ eine Kontrastschwelle überschreitet, wird ein Listeneintrag des mit dem laufenden Index i versehenen Konturpunkts $CP[i]$ in eine hardwaregestützte Konturpunktliste erzeugt.

$$CP[i]_90 := [X, Y, CONT90]$$

Die Koordinaten X und Y ergeben sich aus den Koordinaten x_i und y_i desjenigen Bildpunktes, der in der 6 x 6 Umgebung NBD auf das Element NBD[3,3] abgebildet wird.

Im Beispiel wurde die Auflösung der X-, und Y- Koordinate gegenüber dem Originalbild um 2 bit erweitert, d.h. die Auflösung in jeder Richtung um den Faktor 4 vergrößert. Diese Subpixelinterpolation gewährleistet eine verbesserte Konturqualität auch in gestörten Umgebungen, da erstens nur lokale Schwellwerte verwendet werden und zweitens eine weitgehende Lageinvarianz des Konturpunkts im Tiefenschärfebereich des Objektivs besteht.

Fig. 5 zeigt die Darstellung der Auflösungserweiterung der X- und Y-Koordinate für die Subpixelinterpolation.

Fig. 6 zeigt eine grafische Darstellung der Konturpunktliste 20 in Richtung 90°.

In gleicher Weise wie für die Richtung 90°, werden die Konturpunktlisten der Richtungen 0°, 45° und 135° berechnet, wobei im Folgenden x für die Richtung steht. Die entsprechenden Grauwertprofile GPx_k, Faltungsprodukte Fx_k, Kontraste CONTx und Konturpunktlisten CP[i]_x mit k = 0,1 und x = 0, 45, 135 sind entsprechend Fig. 3 definiert als:

```
GP0_0    := [NBD[1,3], NBD[2,3], NBD[3,3], NBD[4,3], NBD[5,3]]
GP0_1    := [NBD[2,3], NBD[3,3], NBD[4,3], NBD[5,3], NBD[6,3]]
F0_0     := GP0_0 × CONV
F0_1     := GP0_1 × CONV
CONT0    := NBD[1,3] + NBD[2,3] - NBD[5,3] - NBD[6,3]
CP[i]_0  := [X, Y, CONT0]
```

```
GP45_0   := [NBD[2,5], NBD[3,4], NBD[4,3], NBD[5,2], NBD[6,1]]
GP45_1   := [NBD[1,6], NBD[2,5], NBD[3,4], NBD[4,3], NBD[5,2]]
F45_0    := GP45_0 × CONV
```

```
F45_1      := GP45_1 × CONV
CONT45     := NBD[6,1] + NBD[5,2] - NBD [2,5] - NBD[1,6]
CP[i]_45   := [X, Y, CONT45]

GP135_0    := [NBD[1,1], NBD[2,2], NBD[3,3], NBD[4,4], NBD[5,5]]
GP135_1    := [NBD[2,2], NBD[3,3], NBD[4,4], NBD[5,5], NBD[6,6]]
F135_0     := GP135_0 × CONV
F135_1     := GP135_1 × CONV
CONT135    := NBD[1,1] + NBD[2,2] - NBD[5,5] - NBD[6,6]
CP[i]_135  := [X, Y, CONT135]
```

Es werden also für jede Richtung $x = 0, 45, 90, 135$ jeweils ein Paar von Grauwertprofilen GPx_0 , und GPx_1 sowie mittels je eines Paares von zeitlich parallel oder im Zeitmultiplexverfahren arbeitenden Convolvern je ein Paar von Faltungsprodukten Fx_0 und Fx_1 berechnet.

Die so berechneten Listen werden geordnet in einem RAM so abgespeichert, dass die Konturpunkte in nach ihren Indizes i geordneter Reihenfolge zeilenweise gespeichert werden.

Der oben beschriebene Algorithmus wird in der Verarbeitungseinrichtung 6 in Echtzeit, bezogen auf den einlaufenden Bilddatenstrom, durch Hardware wie folgt umgesetzt.

Bezug nehmend auf Fig. 11 ist der Aufbau der Verarbeitungseinrichtung 6 in einem Blockschaltbild gezeigt.

Die digitale Verarbeitungseinrichtung 6 oder Vorverarbeitungseinheit umfasst eine Datenschnittstelle 32, eine Speicherschnittstelle 34, zwölf Register RG1 bis RG12 sowie eine Recheneinrichtung 8. Nicht gezeigt ist ein digitaler Mikrorechner, z.B. ein DSP oder anderer standardisierter Rechner, der auf die Datenspeichereinheit 36 zugreifen kann.

Die Recheneinrichtung 8 wiederum umfasst eine Register Matrix 48, eine Mehrzahl von n Kantendetektoren EDU1 bis EDUn und einen Nachbarschaftsprozessor 90. An die Verarbeitungseinrichtung 6 ist mittels der Speicherschnittstelle 34 eine Datenspeichereinrichtung 36 angeschlossen.

Die Bilddaten der Bildaufnahmeeinheit 10 (Image Aquisition Unit, IAU) werden in Echtzeit an die Datenschnittstelle 32 (IAU Interface) der Vorverarbeitungseinheit 6 übertragen. Die Datenschnittstelle 32 ist mit der Speicherschnittstelle 34 (DSU Interface) zu der externen Datenspeichereinheit 36 (Data Storage Unit, DSU) verbunden und in der Lage, während der Übertragungszeit eines Pixels mehrere, typischerweise acht Schreib/Lesezugriffe auf den RAM durchzuführen. Die Datenspeichereinheit 36 umfasst bzw. besteht aus den Modulen Bildspeicher 38 (Frame/Field Memory), Zeilenspeicher 40 (Line Memory), Konturpunktspeicher 42 (Contour Point Memory), Segmentspeicher 44 (Segment Memory) und Hauptspeicher 46 (General Purpose Memory). Die Module 38 bis 46 können in einem einheitlichen Speicher mit großer Datenrate oder auch in mehreren unterschiedlich schnellen Speichern realisiert werden.

Eine günstige Speicherarchitektur umfasst oder besteht aus drei unabhängigen schnellen 16 bit Speichermodulen, davon einem dynamischen Speicher M1 (DRAM) und zwei statischen Speichern M2 und M3 (SRAM). Die Zuordnung der logischen Speicher zu den physikalischen Speichern ist in Tabelle 1 beschrieben. Mit dieser Architektur wird eine Datenrate von der 48-fachen Pixelrate erreicht. Die Bilddaten und Konturpunktlisten stellen jeweils größere Matrizen dar und werden blockweise in der Speicherschnittstelle 34 formatiert und in den dynamischen Speicher M1 in Echtzeit abgelegt.

Tabelle 1:

Logischer Speicher	Physikalischer Speicher	Bezeichnung
Bildspeicher 38	DRAM	M1
Zeilenspeicher 40	SRAM	M2
Konturpunktspeicher 42	DRAM	M1
Segmentspeicher 44	SRAM	M3
Hauptspeicher 46	SRAM	M3

Ferner wird im Zeilenspeicher M2 40 ebenfalls der aktuelle Bilddatenstrom gespeichert, hier jedoch nur mit einer reduzierten Tiefe von 6 Zeilen. Die Speicherschnittstelle 34 liest aus dem Zeilenspeicher 40 eine Matrix von 2×5 Pixeln und schreibt das aktuelle und das vorhergehende Pixel als 16 bit Wort in den Zeilenspeicher 40. Dabei entsteht ein Datenstrom, der zwei Spalten der Bildmatrix mit einer Länge von 6 Pixeln enthält und in den Registern RG1 bis RG12 gespeichert wird. Anschließend wird der Inhalt dieses Registers mit zwei Takten zeilenweise in die Register-Matrix NBD 6x6 48 geschoben. Die Register-Matrix 48 enthält ferner eine als Pufferspeicher benötigte, jedoch nicht gezeigte Spalte.

Die Register-Matrix 48 ist mit den n Kantendetektoren EDU1 bis EDUn (Edge Detection Unit) verbunden, wobei jeder Kantendetektor einer spezifischen Abtastrichtung zugeordnet ist. In dem hier beschriebenen Beispiel wird entlang von vier Richtungen abgetastet, so dass $n = 4$ ist.

Die Register-Matrix 48 kann im strukturell einfachsten Fall durch 42 Register dargestellt werden. Ebenso sind Realisierungen mit schnellen internen SRAM's möglich.

Aus der Register-Matrix 48 können direkt die Subpixelkoordinaten von Konturpunkten bestimmt werden. Hierzu werden zunächst für die Kantendetektoren EDU1 bis EDU4 mit der Richtung 0° , 45° , 90° , 135° die zugehörigen Grauwertprofile GP0, GP45, GP90, GP135 entnommen.

Die Grauwertprofile sind als:

GP0:= [NBD[1,3],NBD[2,3],NBD[3,3],NBD[4,3],NBD[5,3],NBD[6,3]]

GP45:= [NBD[1,6],NBD[2,5],NBD[3,4],NBD[4,3],NBD[5,2],NBD[6,1]]

GP90:= [NBD[3,1],NBD[3,2],NBD[3,3],NBD[3,4],NBD[3,5],NBD[3,6]]

GP135:= [NBD[1,1],NBD[2,2],NBD[3,3],NBD[4,4],NBD[5,5],NBD[6,6]]

definiert. NBD steht hierbei für Neighbourhood oder Nachbarschaft, wie dem Fachmann bekannt ist. Die allgemeine Struktur jedes Grauwertprofils ist somit:

GP := [P1, P2, P3, P4, P5, P6]

und umfasst also die Grauwerte von jeweils 6 Pixeln P1 bis P6.

Bezug nehmend auf Fig. 12 ist einer der vier parallel arbeitenden identischen Kantendetektoren im Detail dargestellt.

Die Pixel P1 bis P6 werden aus der Register-Matrix 48 an den NBD Multiplexer 52 weitergegeben, wobei die sechs Pixel fest mit den Eingängen eines NBD-Multiplexers 52 des Kantendetektors der jeweiligen Richtung, hier EDU1 verbunden sind.

Die Berechnung wird von dem Kantendetektor EDU1 mithilfe eines Pipelineprozessors durchgeführt. Es wird der Datenstrom in dem Kantendetektor also unverzweigt verarbeitet, wobei die Verarbeitung bei der verwendeten 6 x 6 Umgebung naturgemäß um 6 Pixel verzögert beginnt, vom Ablauf her aber in Videoechtzeit durchgeführt wird.

Der Kantendetektor EDU1 umfasst zumindest ein Hardware-Convolver-Paar 54, welches mit Ausgängen Out1 bis Out3 des NBD Multiplexer 52 verbunden ist und welches die

Faltungsoperationen im Datenstrom jeweils parallel für P1 bis P5 und P2 bis P6 durchführt.

Die beiden paarweisen Faltungsprodukte einer Richtung Fx₀ und Fx₁ (Convolution Results) werden dabei innerhalb eines Pixeltaktes und "on the fly" aus den Daten P1 bis P5 bzw. P2 bis P6 in den Datenpipelines DP1 und DP2, genauer in dem Convolverpaar 54 wie folgt berechnet.

Bezug nehmend auf Fig. 21 ist die Taktung des dem Kantendetektor EDU1 zugrunde liegenden Pipelineprozessors dargestellt.

In den Takten Clock0 bis Clock3 werden die Daten P1 bis P6 aus dem NBD Multiplexer 52 in ein erstes Addierglied Add1 des Convolverspaars 54 eingelesen, wobei das erste Addierglied Add1 fest mit den Ausgängen Out1 und Out2 verbunden ist. Weiter werden in den Takten Clock1 bis Clock4 die Grauwerte der um den Symmetriepunkt des Faltungskerns 24 paarweise symmetrischen Pixel, d.h. P2 und P4, P1 und P5 für Fx₀ sowie P3 und P5, P2 und P6 für Fx₁, in dem ersten Addierglied Add1 zu ersten Zwischenergebnissen P2+P4, P1+P5, P3+P5 sowie P2+P6 addiert.

In den Takten Clock2 bis Clock5 werden die ersten Zwischenergebnisse in einem ersten Multiplizierer Mult1 mit den zugehörigen Werten des Faltungskerns 24, nämlich CONV[1] und CONV[2] multipliziert und in den Takten Clock4 und Clock6 in einem zweiten Addierglied Acc1 weiter aufaddiert.

In der parallelen Datenpipeline DP2, welche mit dem Ausgang Out3 des NBD Multiplexers 52 fest verbunden ist, werden die Daten P3 und P4 in den Takten Clock0 bis Clock3 entsprechend eingelesen und in den Takten Clock4 bis Clock7 mit einem zweiten Multiplizierer Mult2 mit dem Symmetriepunkt CONV[3] des Faltungskerns 24 multipliziert.

Wieder bezug nehmend auf Fig. 12 werden abschließend in einem weiteren Addierer 55 die Faltungsergebnisse Fx_0 und Fx_1 mittels Addition der aus den Datenpipelines DP1 und DP2 gewonnenen Resultate berechnet (Taktung nicht in Fig. 21 dargestellt).

Man erhält also am Ausgang 56 des Convolverpaars 54, bzw. am Ausgang der Datenpipelines DP1 und DP2 die Faltungsprodukte Fx_0 und Fx_1 (Convolution Results) aus dem Convolverpaar.

Diese Berechnungsweise der Faltungsergebnisse ist durch die Symmetrie des Faltungskerns 24 ermöglicht und vereinfacht die Berechnung gegenüber einer jeweils fünffachen Multiplikation.

Es ist für den Fachmann ersichtlich, dass die vorstehend beschriebene paarweise Berechnung der beiden Faltungsergebnisse Fx_0 und Fx_1 in dem Pipelineprozessor des Kantendetektors EDU1, welche im Sinne dieser Beschreibung als Berechnung mittels eines Convolverpaars bezeichnet ist, nur eine beispielhafte Ausführungsform darstellt.

Parallel zur Berechnung der Faltungsprodukte Fx_0 und Fx_1 werden innerhalb desselben Kantendetektors EDU1 entlang des Grauwertprofils in der Datenpipeline DP3, welche ebenfalls ausgangseitig an den NBD Multiplexer 52 angeschlossen ist, genauer mit dessen Ausgängen Out4 und Out5 verbunden ist, zwei Gradienten Grad_1 und Grad_2 als:

$$\text{Grad_1} := P1 + P2 - P5 - P6 \text{ und}$$

$$\text{Grad_2} := P3 - P4$$

berechnet und am Gradientenausgang 58 bereitgestellt.

Der Gradient Grad_1 entspricht dem Kontrast und der Gradient Grad_2 dient zur Artefaktunterdrückung. Beide Gradienten werden

nachfolgend in einem Entscheider 60 einem Schwellwerttest mit programmierbarer Schwelle Grad_1 Threshold bzw. Grad_2 Threshold unterzogen. Die Taktung dieser Berechnung ist ebenfalls in Fig. 21 dargestellt.

Der Entscheider 60 bzw. der Entscheidungsprozess ist im Detail in Fig. 13 dargestellt.

Der Entscheider 60 (Decision Unit) synchronisiert die Eingangsdaten und erzeugt für jeden Bildpunkt eine logische Größe in Form eines Booleschen Vektors $B[k]$, mit $k = 1, 2, 3, 4, 5, 6$:

$B[1] = 1$ wenn $\text{abs}(F_{x_0} - F_{x_1}) > F_{x_Threshold}$	sonst $B[1] = 0$;
$B[2] = 1$ wenn $F_{x_0} * F_{x_1} < 0$	sonst $B[2] = 0$;
$B[3] = 1$ wenn $F_{x_1} \neq 0$	sonst $B[3] = 0$;
$B[4] = 1$ wenn $F_{x_0} = 0$	sonst $B[4] = 0$;
$B[5] = 1$ wenn $\text{abs}(\text{Grad_1}) > \text{Grad_1 Threshold}$	sonst $B[5] = 0$;
$B[6] = 1$ wenn $\text{abs}(\text{Grad_2}) > \text{Grad_2 Threshold}$	sonst $B[6] = 0$;

Somit hängt das Ergebnis des booleschen Vektors von den Faltungsergebnissen, genauer von insgesamt sechs Operanden ab, welche aus den Grauwertprofilen bzw. den Faltungsergebnissen berechnet werden.

Mit anderen Worten hängt also die logische Variable $B[1]$ davon ab, ob der Absolutbetrag der Differenz der Faltungsprodukte F_{x_0} und F_{x_1} eines Convolver-Paares 54 die Schwelle $F_{x_Threshold}$ überschreitet. Ferner hängt die logische Variable $B[2]$ davon ab, ob ein Vorzeichenwechsel zwischen den beiden zu einem Convolverpaar 54 gehörenden Faltungsergebnisse F_{x_0} und F_{x_1} stattfindet. Weiter hängen die logischen Variablen $B[3]$ und $B[4]$ davon ab, ob das Faltungsergebnis F_{x_1} ungleich null und das Faltungsergebnis F_{x_0} gleich null ist.

Hierzu umfasst der Entscheider 60 eingangsseitig einen Demultiplexer 62, welcher die Faltungsergebnisse Fx_0 und Fx_1 in zwei getrennte Register RG Fx_0 bzw. RG Fx_1 weiterleitet. Von dort werden die Ergebnisse an einen Subtrahierer 64 und eine logische Einheit 66 sowie einen Komparator 67 mit betragsbildendem Eingang weitergeleitet, um die Werte B[1] bis B[4] zu bestimmen.

Die Variablen B[5] und B[6] testen das Überschreiten der Schwellenwerte Grad_1 Threshold und Grad_2 Threshold der Gradienten Grad_1 bzw. Grad_2 mittels eines Komparators 68.

Mit diesem booleschen Vektor B[k] wird das Ergebnis, bzw. die Bedingung Konturpunkt gültig/ungültig ($\text{Contour_Point_valid} = 1$ {WAHR} / 0 {FALSCH}) berechnet, und zwar als boolesche Verknüpfung:

```
Contour_Point_valid =
B[1] AND (B[2] OR (B[3] AND B[4])) AND B[5] AND B[6]
```

Der entsprechende Konturpunkt wird dann und nur dann in die Konturpunktliste eingetragen, wenn das vollständige Gültigkeitskriterium $\text{Contour_Point_valid} = 1$ WAHR ist.

Es sind jedoch auch vereinfachte Gültigkeitskriterien, wie z.B. $B[1] \text{ AND } \{B[2] \text{ OR } B[3]\}$ möglich, wovon das vorstehend erläuterte Gültigkeitskriterium $\text{Contour_Point_valid}$ eine Untermenge darstellt.

Bezug nehmend auf die Fig. 7 und Fig. 14 wird ferner wie folgt eine Subpixelinterpolation durchgeführt. Aus den Werten Fx_0 und Fx_1 werden die Koordinaten des Konturpunkts entlang der Abtastlinie mit Subpixelgenauigkeit ermittelt:

$$\Delta s := \text{abs} \left(Fx_0 / (Fx_0 - Fx_1) \right)$$

$\Delta\delta$ wird nur mit einer geringen Wortbreite benötigt, z.B. 2 bit. Dies entspricht einer $2^2 = 4$ -fachen Subpixelinterpolation. Deshalb kann ein einfacher schneller Hardwaredividierer 80 eingesetzt werden. Eine 2-fache oder mehr als 4-fache Subpixelinterpolation ist jedoch auch möglich.

Der Dividierer 80, welcher im Detail in Fig. 14 dargestellt ist, arbeitet auf einfache Weise sequentiell, in dem die Differenz $Fx_0 - Fx_1$ im Nenner so lange in einem Addierglied 82 akkumuliert wird, bis der 4-fache Wert des Zählers in einem Multiplizierglied 84 erreicht wird.

Anschließend wird der Wert $\Delta\delta$ in den Tabellen LUT1 und LUT2 in das hochaufgelöste kartesische Koordinatensystem transformiert. Hierbei werden Offsets durch das digitale Raster berücksichtigt.

Die subpixelgenauen Koordinaten werden nach der in Fig. 7 dargestellten Tabelle berechnet und in die vorstehend beschriebene Konturpunktliste mit den Elementen $CP[i]$ eingetragen:

$CP[i] := [X[i], Y[i], CONT]$

und an einen FIFO innerhalb der Speicherschnittstelle 34 ausgegeben und schließlich blockweise in den Speicher M1 geschrieben. Dabei entsprechen die Werte x_i und y_i den Koordinaten des Bildpunktes, der in der 6×6 Umgebung NBD auf das Element $NBD[3,3]$ abgebildet wird, unter Beachtung der Transformation in das hochaufgelöste kartesische Koordinatensystem. Die Konturpunktliste 20 wird zeilenweise geordnet abgespeichert, deshalb genügt hier ein auf typischerweise 32 bit verkürztes Format, in dem von der Y-Koordinate nur der Low-Teil abgespeichert wird.

Wieder Bezug nehmend auf Fig. 11 ist für jede Richtung ein separater Kantendetektor (Edge Detection Unit) EDU1 bis EDUn vorhanden. Am Ausgang jedes Kantendetektors entstehen Datensätze, die an die Speicherschnittstelle 34 übertragen werden. Die Speicherschnittstelle 34 puffert die zu einer Richtung gehörenden Datensätze DS1 bis DS_n und speichert die Datensätze DS1 bis DS_n in fortlaufender Reihenfolge nach dem FIFO-Prinzip im Speicher M1 ab. Falls ein Wechsel der Zeilenadresse auftritt, fügt die Speicherschnittstelle 34 einen Datensatz, der den Zeilenwechsel markiert, hinzu, ebenso ein Endekennzeichen nach Bildende.

Mit dem Speichern der Konturpunktliste 20 im Speicher M1 ist der erste Schritt oder Hauptprozess der Konturpunktgenerierung abgeschlossen.

Zweiter Hauptprozess

In einem zweiten Hauptprozess, welcher dem ersten Hauptprozess zeitlich nachfolgt, werden nun die Konturpunktlisten zeilenweise in den Speicher M3 geladen. Bezug nehmend auf Fig. 8, expandiert die Speicherschnittstelle 34 beim Lesen der Information die Daten der Konturpunktliste CP[i] auf die nun benötigte vollständige Strukturbreite. Der Speicher M3 ist als Ringpuffer mit einer typischen Speichertiefe von 4 Zeilen organisiert und besitzt 4 unabhängige Puffer für die Richtungen 0°, 45°, 90° und 135°. Jeweils nach Erkennen einer Zeilenendemarkierung stoppt der Schreibvorgang, und es wird der Nachbarschaftsprozessor 90 gestartet.

Die aktuelle, zuletzt eingeschriebene Zeile wird in den Nachbarschaftsprozessor 90 gelesen. Im Gegensatz zu gewöhnlich verwendeten, im Raster arbeitenden Nachbarschaftsprozessoren, werden erfindungsgemäß Listendaten im Subpixelformat

verarbeitet. Die Nachbarschaft kann in Abhängigkeit von der zu lösenden Aufgabe flexibel definiert werden.

Eine gute Allgemeingültigkeit wird mit einem aus dem vereinfachten Abstand der Konturpunkte und den Kontrastwerten $CONT_1$ und $CONT_2$ gebildeten Nachbarschaftskriterium NC erreicht (vgl. Fig. 19):

$$\begin{aligned}\delta \text{ Dist} &= \max(\text{abs}(y1 - y2) , \text{abs}(x1 - x2)) \\ \delta \text{ Cont} &= CONT_1 * CONT_2\end{aligned}$$

Zwei Konturpunkte sind benachbart, wenn das Nachbarschaftskriterium NC:

$$NC := (\delta \text{ Dist} < \text{Dist_Threshold}) \text{ AND } (\delta \text{ Cont} > 0)$$

erfüllt ist.

Da wegen der Realisierung des Nachbarschaftsprozessors $\text{abs}(y1 - y2) \leq 1$ und $\text{Dist_Threshold} \geq 1$ gilt, vereinfacht sich das Abstandsmaß zu

$$\delta \text{ Dist} = \text{abs}(x1 - x2)$$

Durch die Einfügung des Kontrastschwellwerts wird die Vereinigung von Konturen unterschiedlicher Ausprägung verhindert bzw. erschwert. Natürlich kann statt des vereinfachten Abstandes auch ein anderes Abstandsmaß, z.B. der Euklidische Abstand, verwendet werden.

Bezug nehmend auf die Fig. 15 bis 17 werden die Nachbarschaftsbeziehungen von Konturpunkten 22 in diesem Beispiel wie folgt bestimmt.

Nach erfolgreichem Abspeichern sämtlicher Konturpunkte 22 der letzten vollständig übertragenen Zeile mit dem Index j in den Ringpuffer des Speichers M3 wird die Nachbarschaft untersucht. Dazu werden in der ersten zu untersuchenden Richtung zunächst ein Pointer CurPtr auf den ersten Konturpunkt der aktuellen Zeile j und ein Pointer AboveStartPtr und ein Pointer AbovePtr auf den ersten Konturpunkt der Zeile $j-1$ gestellt und die adressierten Konturpunkte in den Nachbarschaftsprozessor 90 eingelesen. Der Nachbarschaftsprozessor 90 segmentiert in Abhängigkeit des Nachbarschaftskriteriums NC Konturpunkte und trägt bei festgestellter Nachbarschaft für benachbarte Elemente gleiche Segmentnummern ein. Falls ein Konturpunkt keine Nachbarn mit bereits vergebenen Segmentnummern hat, erfolgt die Vergabe einer neuen Segmentnummer. Falls festgestellt wird, dass ein einzelner Konturpunkt Segmente mit unterschiedlicher Segmentnummer verbindet, erfolgt die Eintragung in eine Koinzidenzliste.

Die Fig. 15, 16 und 17 zeigen die Arbeitsweise des Nachbarschaftsprozessors 90 im Raster. Die Punkte P11, P12 etc. der vorangegangenen Above-Zeile $j-1$ sowie die Punkte P21, P22 etc. der aktuellen Current-Zeile j enthalten die jeweiligen Konturpunktadressen mit Subpixelgenauigkeit, den Kontrastwert CONT sowie die Segmentnummer SegNo.

Fig. 15 zeigt den Startzustand. Der Pointer AboveStartPtr verweist hierin auf P11, der Pointer CurPtr auf P21, der Pointer OldCurPtr ist ungültig.

Fig. 16 zeigt den Status beim Übergang zum nächsten zu verarbeitenden Punkt P22. Der Pointer CurPtr verweist jetzt auf P22, der Pointer OldCurPtr auf P21 und der Pointer AboveStartPtr wird (iterativ) auf P12 verschoben.

Fig. 17 zeigt, welche Punkte beim Testen auf Nachbarschaft mit der darüber liegenden Zeile untersucht werden:

Der Pointer oder Zeiger AbovePtr wird mit dem Wert von AboveStartPtr initialisiert und läuft dann über P12, P13 und P14.

Die Hardwarerealisierung des Prozesses der Nachbarschaftsuntersuchung folgt dem Programmablaufplan nach Fig. 18 und wird mit der Struktur nach Fig. 19 berechnet.

Zuerst wird der laufende zu verarbeitende Konturpunkt gelesen (Read current contour point record, RCCP), dieser entspricht dem oben beschriebenen CurPtr.

Danach wird überprüft, ob der OldCurPtr gültig ist. Falls ja, werden OldCurPtr und CurPtr auf Nachbarschaft untersucht (Check neighbourhood criteria for CurPtr/OldCurPtr, CNCO). Ist das Nachbarschaftskriterium NC erfüllt, wird CurPtr dem Segment von OldCurPtr zugeordnet, d.h. es wird die Segmentnummer des laufenden Konturpunkts aktualisiert (Update segment number of current contour point, USC).

Danach wird mit der Überprüfung der Nachbarschaft zu Punkten in der darüber liegenden Zeile fortgesetzt (aus Gründen der Übersichtlichkeit nicht im Ablaufplan eingezeichnet). Dies erfolgt ebenfalls, wenn OldCurPtr ungültig ist oder OldCurPtr und CurPtr nicht benachbart sind. Dabei wird zuerst AbovePtr aus dem aktuellen AboveStartPtr initialisiert (aus Gründen der Übersichtlichkeit nicht im Ablaufplan eingezeichnet).

Danach erfolgt eine Iteration mit diesem Zeiger oder Pointer: Solange dieser gültig ist (AbovePtr valid, APV), wird CurPtr mit diesem auf Nachbarschaft untersucht (check neighbourhood criteria for CurPtr/AbovePtr, CNCA). Sind sie benachbart, so wird CurPtr dem Segment von AbovePtr zugeordnet (USC). Danach wird die Iteration über AbovePtr fortgesetzt, wenn noch nicht alle Nachbarschaftskandidaten untersucht wurden (aus Gründen der Übersichtlichkeit nicht im Ablaufplan eingezeichnet). Sind

CurPtr und AbovePtr nicht benachbart, wird die Iteration einfach durch Inkrementieren von AbovePtr (Increment Above Pointer, IAP) fortgesetzt.

Hat CurPtr nach Ende der Iteration von AbovePtr noch keine Segmentnummer erhalten, wird eine neue Segmentnummer erzeugt und ihm zugeordnet (Create new segment number for current contour point, NSC). Abschließend wird der alte CurPtr in OldCurPtr gespeichert und CurPtr inkrementiert (Increment current pointer and update OldCurent pointer, ICP). Damit erfolgt der Übergang zum nächsten zu verarbeitenden Konturpunkt und der gesamte Ablauf wird wiederholt, bis alle Konturpunkte verarbeitet wurden.

Die zwei Teilprozesse USC und APV werden nachfolgend noch näher erläutert:

- USC: Beim Zuordnen des CurPtr zu einem Segment können zwei Fälle auftreten:
 1. CurPtr hat noch keine Segmentnummer. In diesem Fall wird für CurPtr die Segmentnummer des Segments, dem der Punkt zugeordnet werden soll, übernommen.
 2. CurPtr hat bereits eine Segmentnummer. In diesem Fall kann die Segmentnummer nicht übernommen werden. Dann wird statt dessen in CurPtr eine Koinzidenzinformation eingetragen, die besagt, dass dieser Punkt mit dem Segment, dem er zugeordnet werden sollte, benachbart ist.
- APV: Die Entscheidung, ob AbovePtr noch gültig ist, umfasst mehrere Kriterien: Erstens muss der Punkt noch zu der Zeile über CurPtr gehören. Zweitens muss er auf Grund seiner räumlichen Lage noch als Nachbarschaftskandidat in Frage kommen (Kriterium siehe oben). Durch die Art der Iteration (Beginn bei dem von links gesehen ersten Kandidaten und Iteration nach rechts) ist sichergestellt,

dass AbovePtr alle und nur die in Frage kommenden Punkte überstreicht.

Bezug nehmend auf Fig. 8 wird ein einzelner Konturpunkt, umfassend oder bestehend aus Filterrichtung, Koordinaten, Kontrastmaß, Segmentnummer und Koinzidenzinformation, in einer 64 Bit großen Datenstruktur der Konturpunktliste CP_long gespeichert. Die in Fig. 8 dargestellte Aufteilung der Bits auf die einzelnen Daten ermöglicht eine hohe Speichereffizienz.

Alle entstandenen Konturpunkte aus allen Filterrichtungen werden in einer gemeinsamen kontinuierlichen Liste im Speicher abgelegt. Dabei wird eine Ordnungsstruktur eingehalten, die durch die Koordinaten der Konturpunkte und die Filterrichtung, durch die der Konturpunkt erzeugt wurde, definiert ist. Die Punkte werden beginnend mit der linken oberen Ecke des Bildes pixelzeilenweise jeweils von links nach rechts abgelegt, wobei Konturpunkte mit gleichen Pixelkoordinaten nach Filterrichtungen getrennt gespeichert werden.

Ein Punkt A steht dabei vor einem Punkt B im Speicher genau dann, wenn gilt: $\text{int}(A.Y) < \text{int}(B.Y)$ oder $(\text{int}(A.Y) = \text{int}(B.Y) \text{ und } (\text{int}(A.X) < \text{int}(B.X) \text{ oder } (\text{int}(A.X) = \text{int}(B.X) \text{ und } A.DIR < B.DIR)))$, wobei A.X bzw. A.Y die X- bzw. Y-Koordinate des Punktes A, $\text{int}()$ den ganzen Pixelanteil ohne Subpixelanteil und A.DIR bzw. B.DIR die Filterrichtung bezeichnen. Das Ende der Liste wird durch einen Eintrag, bei dem alle Bits auf 0 gesetzt sind, markiert.

Ein Beispiel einer hexadezimalen Konturpunktliste CP_long, dargestellt als sogenannter "Hexdump" mit zwei Konturpunkten pro Zeile ist in Fig. 9 gezeigt.

Die so ermittelte Segmentnummer und die Koinzidenzinformation werden ebenfalls in die Datenstruktur CP_long geschrieben. Wenn die Segmentnummern einer kompletten Zeile bestimmt wurden, wird

die betreffende Zeile über die Speicherschnittstelle 34 in den Speicher M1 geschrieben. Hiermit ist der zweite Hauptprozess der Segmentierung beendet.

Hardwareseitig umfasst der in Fig. 19 im Detail dargestellte Nachbarschaftsprozessor 90 zwei Register RG CurPtr und RG OldCurPtr in die die entsprechenden Konturpunkte aus dem Zeilenspeicher 40 eingeschrieben werden. Diese Register sind ebenso wie der Zeilenspeicher unmittelbar mit einem Multiplexer 92 verbunden.

Der Konturpunkt Abstand wird mittels eines Differenzgliedes 94 bestimmt und mittels eines Komparators 96 einer Schwellenwertbetrachtung mit einem maximalen Abstandswert unterzogen. Anschließend wird die vorstehend erläuterte "AND"-Verknüpfung

$$NC := (\delta \text{ Dist} < \text{Dist_Threshold}) \text{ AND } (\delta \text{ Cont} > 0)$$

durchgeführt und die Segmentnummer von einem Segmentnummergenerator 98 erzeugt, so dass das Nachbarschaftskriterium eine Funktion des Konturpunkt Abstandes und/oder des Kontrastes ist. Der Segmentnummergenerator 98 ist im Detail in Fig. 20 dargestellt.

Dritter Hauptprozess

Der dritte Hauptprozess, in welchem die statistischen Momente S berechnet werden, läuft gegenüber dem zweiten Hauptprozess zeitlich verzögert ab.

Während des Schreibens in den Speicher M1 durchläuft die Konturpunktfolge eine Recheneinheit, definiert als Statistikprozessor (Statistical Processor) geeignet zur Bestimmung der statistischen Momente.

Aus der Struktur des Konturpunkts werden die X- und Y-Koordinate sowie der Kontrast *CONT* kopiert und entsprechend den Gleichungen zur Momentberechnung akkumuliert. Hierzu wird im Speicher M3 eine Struktur mit Momenten *S*, in diesem Beispiel bis zur 2. Ordnung, für spezielle Anwendungen auch höherer Ordnung wie folgt angelegt:

$$S_x := \sum_{i=1}^n x_i$$

$$S_xx := \sum_{i=1}^n x_i^2$$

$$S_y := \sum_{i=1}^n y_i$$

$$S_yy := \sum_{i=1}^n y_i^2$$

$$S_xy := \sum_{i=1}^n x_i y_i$$

$$S_cont := \sum_{i=1}^n CONT_i$$

$$S2 := n \left(\sum_{i=1}^n x_i^2 \right) - \left(\sum_{i=1}^n x_i \right)^2$$

$$S4 := n \left(\sum_{i=1}^n y_i^2 \right) - \left(\sum_{i=1}^n y_i \right)^2$$

$$S6 := n \left(\sum_{i=1}^n x_i y_i \right) - \left(\sum_{i=1}^n x_i \right) \left(\sum_{i=1}^n y_i \right)$$

$$Obj_Moments_i := [n, S_x, S_y, S_2, S_4, S_6, S_cont]$$

Eine Berechnung bis zur 3. Ordnung ist insbesondere bei der Erkennung von nicht-linearen, z.B. gekrümmten Kanten oder Strukturen vorteilhaft. Mit dem erfindungsgemäßen Konzept erscheint bei entsprechender Hardwareentwicklung eine Berechnung sogar bis zur 4. Ordnung möglich.

Die Strukturen werden für jede Richtung $Dir = 0^\circ, 45^\circ, 90^\circ$ und 135° durch Multiplizierer/Akkumulatoren in Form eines Momentvektors aufgebaut und in einer Liste `Obj_Moments[i]`, wie vorstehend berechnet, abgelegt. Diese Liste wird über eine nicht gezeigte Schnittstelle gespeichert und kann intern weiter komprimiert oder direkt von einem Mikrorechner gelesen werden. Die Liste `Obj_Moments[i]` weist ein im Vergleich zum ursprünglichen Grauwertbild erheblich verringertes Datenvolumen auf. Die Kompressionsrate erreicht in Abhängigkeit vom Bildinhalt Werte von etwa 1:200 bis 1:5000 gegenüber dem Originalbild des bildgebenden Systems bzw. der CCD-Kamera, ohne dass Datenverluste für die Gitterapproximation entstehen.

Für die weitere Verarbeitung werden die Anstiege der Bestgeraden durch die segmentierten Konturpunkte zweckmäßig als Differenz zu den vier Abtastrichtungen berechnet.

In Fig. 22 ist eine Realisierung mit vier Richtungen DIR1 bis DIR4 gezeigt. Die Richtungen DIR1 bis DIR4 sind gegenüber den Abtastrichtungen um 90° gedreht. Die Konturpunkte 22 eines Objekts - in diesem Fall einer digitalen geraden Strecke 100 - sind als Rhomben 102 markiert. Diese Strecke hat im kartesischen Koordinatensystem des Beispiels den Anstieg $m = 0,65$ entsprechend 33° . Die Strecke liegt im Beispiel innerhalb des Richtungssektors DIR2, die Strecken im Winkelbereich $< 22.5^\circ \dots 67.5^\circ >$ des kartesischen Koordinatensystems erfasst.

Eine besonders einfache Hardwarerealisierung der Approximation der Bestgeraden 100 ergibt sich, wenn der Differenzanstieg Δm zwischen der Richtung der Bestgeraden 100 und der jeweiligen Hauptrichtung direkt berechnet wird. Die Differenzanstiege werden als m_0 , m_{45} , m_{90} und m_{135} bezeichnet und werden, durch Taylorreihen approximiert, wie folgt berechnet:

DIR1, <-22.5°..22.5°>:

$$x := \frac{S6}{S2 - S4}$$

$$m_0 := .408 x^5 - .708 x^3 + .983 x$$

DIR2, <22.5°..67.5°>:

$$x := -\frac{S2 - S4}{S6}$$

$$m_45 := .000464 x^5 - .0117 x^3 + .247 x$$

DIR3, <67.5°..112.5°>:

$$x := \frac{S6}{S2 - S4}$$

$$m_90 := .403 x^5 - .708 x^3 + .983 x$$

DIR4, <112.5°..157.5°>:

$$x := -\frac{S2 - S4}{S6}$$

$$m_135 := .000464 x^5 - .0117 x^3 + .247 x$$

Ferner werden die Schwerpunkte [x0, y0] der digitalen Strecken berechnet mit:

$$x0 := \frac{S_x}{n}$$

$$y0 := \frac{S_y}{n}$$

Die Ergebnisse der Berechnung werden in eine für jede Richtung getrennt angelegte Merkmalsliste $Features_i$ eingetragen.

$$Features_i := [[x0, y0], n, m_DIR, S_cont]$$

Anschließend wird ein Objektfilter eingesetzt, das insbesondere Rauschen unterdrückt, in verschiedenen Richtungen gefundene gleichartige Segmente streicht und bei Bedarf Segmente anhand der Koinzidenzinformation vereinigt.

Hierzu kann im einfachsten Fall das Objektfilter-Kriterium

$$(n > 2) \text{ AND } (\text{abs}(m_DIR) < \arctan(22.5^\circ))$$

verwendet werden.

Die grafische Darstellung der approximierten und gefilterten digitalen Stecken 104 ist in Fig. 10 gezeigt.

In Abhängigkeit von der zu realisierenden Applikation werden die erhaltenen Segmente in Subpixelqualität zu Objekten zusammengefasst. Für ein- und zweidimensionale Barcodes sind dies zunächst Gitterstrukturen, die dann zur Abtastung der Grauwerte des Codes verwendet werden. Das auf dem erfindungsgemäßen Bildverarbeitungssystem ablaufende Verfahren ist omnidirektional in Videoechtzeit umsetzbar. Durch die Erfassung sämtlicher verfügbarer Konturen kann das Raster lokal rekonstruiert werden, so dass auch beschädigte oder parallaktisch verzerrte Codes gelesen werden können. Die Rechenleistung der verwendeten Mikroprozessoren ist für die hier vorgestellte Gitterrekonstruktion und Decodierung in Echtzeit ausreichend.

Die vorstehend beschriebene schnelle Bildverarbeitung, insbesondere Segmentierung von Grauwertbildern mit Subpixelauflösung ist weitgehend allgemeingültig und kann auch für eine Vielzahl anderer Anwendungen verwendet werden, z.B. in der industriellen Messtechnik, Robotersteuerung, für Inspektionsaufgaben und für schnelle Segmentierungsaufgaben im Bereich der Logistik (Schriften in Grauwertbildern lesen, Codes

lesen) und für die schnelle automatische Objektidentifizierung, z.B. im Point of Sale (POS) -Bereich.

Eine besonders interessante Anwendung ist die Erkennung von biometrischen Formen oder Strukturen, z.B. zur Fingerabdruck-, Iris- oder Gesichtserkennung.

Es ist für den Fachmann ersichtlich, dass die vorstehend beschriebenen Ausführungsformen lediglich beispielhaft zu verstehen sind und in vielfältiger Weise abgewandelt werden können, ohne den Geist der Erfindung zu verlassen.

Patentansprüche:

1. Bildverarbeitungssystem (1), insbesondere zum omnidirektionalen Lesen von optischen Mustern, z.B. ein- und zweidimensionalen Codes (18), umfassend zumindest:
 - ein bildgebendes System (2) zur Bereitstellung von Bilddaten,
 - einen Analog-Digital-Umsetzer (4) zur Umsetzung der Bilddaten in digitale Bilddaten (12),
 - eine Verarbeitungseinrichtung (6) zur Verarbeitung der digitalen Bilddaten (12),
 - eine Recheneinrichtung (8) und
 - mehrere Convolver zur Faltung der digitalen Bilddaten.
2. Bildverarbeitungssystem (1) nach Anspruch 1,
 - wobei die digitalen Bilddaten (12) mittels der mehreren Convolver zeitlich parallel und/oder im Zeitmultiplexverfahren gefaltet werden.
3. Bildverarbeitungssystem (1) nach einem der vorstehenden Ansprüche,
 - wobei die digitalen Bilddaten aus einem einlaufenden Bilddatenstrom (12) gebildet werden und der einlaufende Bilddatenstrom (12) mittels der mehreren zeitlich parallel und/oder im Zeitmultiplexverfahren arbeitenden Convolver gefaltet wird.
4. Bildverarbeitungssystem (1) nach einem der vorstehenden Ansprüche,
 - wobei die Bilddaten ein zumindest zweidimensionales Bild repräsentieren und die Convolver in verschiedenen Richtungen (0°, 45°, 90°, 135°) arbeiten.

5. Bildverarbeitungssystem (1) nach einem der vorstehenden Ansprüche,
wobei die Convolver mehrere Paare von Convolvern (54) umfassen und die digitalen Bilddaten (12) mittels der mehreren zeitlich parallel und/oder im Zeitmultiplexverfahren arbeitenden Paare von Convolvern (54) gefaltet werden (Fx_0, Fx_1) und
wobei die beiden Convolver (54) eines Paares in derselben Richtung (0°, 45°, 90°, 135°) arbeiten.
6. Bildverarbeitungssystem (1) nach einem der vorstehenden Ansprüche,
wobei die digitalen Bilddaten (12) mittels vier zeitlich parallel und/oder im Zeitmultiplexverfahren arbeitenden Paaren von Convolvern (54), die in vier um jeweils 45° gedrehten Richtungen (0°, 45°, 90°, 135°) arbeiten, gefaltet werden (Fx_0, Fx_1).
7. Bildverarbeitungssystem (1) nach einem der vorstehenden Ansprüche,
wobei die digitalen Bilddaten (12) innerhalb einer $n \times n$, insbesondere 6×6 Umgebung gefaltet werden (Fx_0, Fx_1).
8. Bildverarbeitungssystem (1) nach einem der vorstehenden Ansprüche,
wobei die digitalen Bilddaten ein einlaufender Bilddatenstrom (12) sind und in einem ersten Hauptprozess in der Verarbeitungseinrichtung (6) der einlaufende Bilddatenstrom (12) mit den mehreren zeitlich parallel und/oder im Zeitmultiplexverfahren arbeitenden Convolvern, die in jeweils gedrehten Richtungen (0°, 45°, 90°, 135°) arbeiten, innerhalb einer $n \times n$ Umgebung gefaltet wird.
9. Bildverarbeitungssystem (1) nach einem der vorstehenden Ansprüche,

wobei mittels der Faltungsergebnisse (Fx_0, Fx_1) Konturpunkte (22) erzeugt werden und eine Untermenge der Konturpunkte (22) in eine Konturpunktliste (20) eingetragen wird.

10. Bildverarbeitungssystem (1) nach einem der vorstehenden Ansprüche,

wobei mittels der Faltungsergebnisse (Fx_0, Fx_1) der Convolver (54) Operanden für eine logische Entscheidung ermittelt werden und

wobei das Bildverarbeitungssystem (1) einen Entscheider (60) umfasst, welcher in Abhängigkeit der Operanden eine logische Größe (B[k]) bereitstellt und ein Konturpunkt (22) in Abhängigkeit von der logischen Größe (B[k]) in eine Konturpunktliste (20) eingetragen wird.

11. Bildverarbeitungssystem (1) nach einem der vorstehenden Ansprüche,

wobei ein Konturpunkt (22) zumindest mit den Werten X-Position, Y-Position und dem zugehörigem Kontrastwert (CONT) in Abhängigkeit der logischen Größe (B[k]) in eine Konturpunktliste (20) eingetragen wird.

12. Bildverarbeitungssystem (1) nach einem der vorstehenden Ansprüche,

wobei die logische Größe ein boolescher Vektor B[k] mit einer Mehrzahl von logischen Variablen ($k = 1, 2, \dots$) ist und

wobei eine erste der logischen Variablen B[1] von einem Überschreiten eines Schwellwertes des Absolutbetrages der Differenz der zu einem Convolverpaar (54) gehörenden Faltungsergebnisse (Fx_0, Fx_1) abhängt, eine zweite der logischen Variablen B[2] von einem Vorzeichenunterschied der zu einem Convolverpaar (54) gehörenden Faltungsergebnisse (Fx_0, Fx_1) abhängt, eine dritte der logischen Variablen B[4] davon

abhängt, ob eines der zu einem Convolverpaar (54) gehörenden Faltungsergebnisse (Fx_0, Fx_1) gleich null ist und

wobei ein Konturpunkt (22) in Abhängigkeit einer logischen Verknüpfung der ersten, zweiten und/oder dritten logischen Variablen in eine Konturpunktliste (20) eingetragen wird (Contour_Point_valid).

13. Bildverarbeitungssystem (1) nach Anspruch 12,

wobei die logische Verknüpfung zumindest die boolesche Verknüpfung:

$B[1] \text{ AND } \{B[2] \text{ OR } B[4]\}$ umfasst und der Konturpunkt (22) in die Konturpunktliste (20) eingetragen wird, wenn die logische Verknüpfung WAHR ergibt.

14. Bildverarbeitungssystem (1) nach einem der vorstehenden Ansprüche,

wobei für jede Richtung (0°, 45°, 90°, 135°) ein Convolverpaar (54) vorgesehen ist und für jede Richtung jeweils eine Konturpunktliste (20) erstellt wird.

15. Bildverarbeitungssystem (1) nach einem der vorstehenden Ansprüche,

wobei ein Konturpunkt (22) genau dann in eine Konturpunktliste (20) in einen Speicher zumindest mit den Werten X-Position, Y-Position und Kontrastwert (P(X,Y,Kontrastwert)) eingetragen wird,

wenn a) die Faltungsergebnisse (Fx_0, Fx_1) der zu einem Convolverpaar (54) gehörenden Operanden unterschiedliche Vorzeichen aufweist und die Differenz der Operanden in der vorgegebenen Richtung einen Schwellwert überschreitet oder

wenn b) genau ein Operand gleich null ist und die Differenz der Operanden in der vorgegebenen Richtung einen Schwellwert (Fx_Threshold) überschreitet.

16. Bildverarbeitungssystem (1), insbesondere zum omnidirektionalen Lesen von optischen Mustern, z.B. ein- und zweidimensionalen Codes (18), insbesondere nach einem der vorstehenden Ansprüche, umfassend zumindest:
- ein bildgebendes System (2) zur Bereitstellung von Bilddaten,
 - einen Analog-Digital-Umsetzer (4) zur Umsetzung der von dem bildgebenden System bereitgestellten Bilddaten in digitale Bilddaten (12),
 - eine Verarbeitungseinrichtung (6) zur Verarbeitung der digitalen Bilddaten,
 - eine Recheneinrichtung (8) und
 - einen Nachbarschaftsprozessor (90) zum Auslesen und Verketteten von Konturpunkten (22).
17. Bildverarbeitungssystem (1) nach Anspruch 16,
- wobei in einem zweiten Hauptprozess, welcher zu dem ersten Hauptprozess zeitlich verzögert ist, Konturpunkte (22, $P(X,Y,Kontrastwert)$) benachbarter Zeilen und/oder Spalten ($j, j-1$) von dem Nachbarschaftsprozessor ausgelesen und anschließend bei Erfüllung eines Nachbarschaftskriteriums (NC) verkettet und in eine Konturpunktliste (20) eingetragen werden.
18. Bildverarbeitungssystem (1) nach Anspruch 17,
- wobei die Nachbarschaft eine Funktion des Konturpunktabstandes und/oder der Kontrastwerte (CONT) der benachbarten Konturpunkte (22) ist.
19. Bildverarbeitungssystem (1), insbesondere zum omnidirektionalen Lesen von optischen Mustern, z.B. ein- und zweidimensionalen Codes (18), insbesondere nach einem der vorstehenden Ansprüche, umfassend zumindest:
- ein bildgebendes System (2) zur Bereitstellung von Bilddaten,
 - einen Analog-Digital-Umsetzer (4) zur Umsetzung der

von dem bildgebenden System bereitgestellten Bilddaten in digitale Bilddaten (12),

eine Verarbeitungseinrichtung (6) zur Verarbeitung der digitalen Bilddaten,

eine Recheneinrichtung (8) und

einen Statistikprozessor zum Auslesen einer Segmentliste.

20. Bildverarbeitungssystem (1) nach Anspruch 19,

wobei die Segmentliste eine um zumindest eine Segmentnummer ergänzte Konturpunktliste ist.

21. Bildverarbeitungssystem (1) nach einem der vorstehenden Ansprüche,

wobei, vorzugsweise in der Verarbeitungseinrichtung (6), eine Objektzuordnung der Konturpunkte (22) durchgeführt wird.

22. Bildverarbeitungssystem (1) nach einem der vorstehenden Ansprüche,

wobei in einem dritten Hauptprozess, welcher zu dem zweiten Hauptprozess zeitlich verzögert ist, die Segmentliste durch den Statistikprozessor ausgelesen wird und wobei die statistischen Momente (S) für die Objekte jeder Richtung (DIR1 bis DIR4) berechnet werden.

23. Bildverarbeitungssystem (1) nach einem der vorstehenden Ansprüche,

wobei in einem dritten Hauptprozess, welcher zu dem zweiten Hauptprozess zeitlich verzögert ist, die Segmentliste durch den Statistikprozessor ausgelesen wird und wobei in einem Multiplizierer/Akkumulator die statistischen Momente (S) bis zur zweiten, dritten und/oder vierten Ordnung für die Objekte jeder Richtung (DIR1 bis DIR4) berechnet werden.

24. Bildverarbeitungssystem (1) nach einem der vorstehenden Ansprüche,
wobei die Bilddaten als Bilddatenstrom (12) der Verarbeitungseinrichtung (6) zugeführt werden und die Konturpunktliste (20) bereits während des Zuführens des Bilddatenstroms (12) erzeugt wird.
25. Bildverarbeitungssystem (1) nach einem der vorstehenden Ansprüche,
wobei in einem oder mehreren Speichern zur Laufzeit des Bildes nach Richtungen sortierte partitionierte Konturpunktlisten (20) angelegt sind.
26. Bildverarbeitungssystem (1) nach einem der vorstehenden Ansprüche,
wobei eine Pixelinterpolation zur Reduzierung des Quantisierungs- oder Digitalisierungsrauschens durchgeführt wird.
27. Bildverarbeitungssystem (1) nach einem der vorstehenden Ansprüche,
wobei die Konturpunkte (22) in der Konturpunktliste (20) mit Subpixelauflösung abgespeichert sind.
28. Bildverarbeitungssystem (1) nach einem der vorstehenden Ansprüche,
wobei zumindest ein Gradient (Grad_1, Grad_2) für jede Richtung (DIR1 bis DIR4) berechnet wird und vorzugsweise in der Konturpunktliste abgespeichert wird.
29. Bildverarbeitungssystem (1) nach einem der vorstehenden Ansprüche,
wobei die Differenz zweier Faltungsergebnisse (Fx_0 - Fx_1) berechnet wird und vorzugsweise in der Konturpunktliste (20) abgespeichert wird.

30. Bildverarbeitungssystem (1) nach einem der vorstehenden Ansprüche,
wobei zur Laufzeit des Bildes ein Gradient oder mehrere Gradienten (Grad_1, Grad_2) und die Differenz zweier Faltungsergebnisse (Fx_0 - Fx_1) in der jeweiligen Filterrichtung berechnet werden und einer der Gradienten und/oder die besagte Differenz als Kontrast (CONTx) innerhalb der Konturpunktliste (20) abgespeichert wird.
31. Bildverarbeitungssystem (1) nach einem der vorstehenden Ansprüche,
wobei der Inhalt der Konturpunktliste (20) für jede Richtung in einen Speicher (M1) kopiert wird.
32. Bildverarbeitungssystem (1) nach einem der vorstehenden Ansprüche,
wobei der Inhalt der Konturpunktliste (20) aus der Verarbeitungseinrichtung (6) für jede Richtung nach jeder Zeile des bildgebenden Systems in einen, vorzugsweise externen Speicher (M1) kopiert wird.
33. Bildverarbeitungssystem (1) nach einem der vorstehenden Ansprüche,
wobei in der Verarbeitungseinrichtung (6) eine Segmentierung durchgeführt wird.
34. Bildverarbeitungssystem (1) nach einem der vorstehenden Ansprüche,
wobei eine Schnittstelle (34) einer Datenspeichereinheit (36) nach Bearbeitungsfortschritt eines Nachbarschaftsprozessors (90) die aktuelle Zeile der Konturpunktliste (20) getrennt nach Richtungen in einen Arbeitsspeicher (M2) des Nachbarschaftsprozessors (90) kopiert.

35. Bildverarbeitungssystem (1) nach einem der vorstehenden Ansprüche,
wobei der Nachbarschaftsprozessor (90) mit einem Nachbarschaftskriterium (NC) Nachbarschaften feststellt, Konturpunkte (22) segmentiert und/oder die Segmentnummern und Koinzidenzen in eine erweiterte Konturpunktliste (20) einträgt.
36. Bildverarbeitungssystem (1) nach einem der vorstehenden Ansprüche,
wobei ein Statistikprozessor auf Grundlage der Konturpunktliste (20) Momente (S) berechnet.
37. Bildverarbeitungssystem (1) nach einem der vorstehenden Ansprüche,
wobei das Bildverarbeitungssystem (1) über eine Ausgangsschnittstelle Daten in folgendem Ausgabeformat ausgibt:
[Richtung(DIR), Momente(S), Segmentnummer (SegNo), Kontrast(CONT)].
38. Bildverarbeitungssystem (1) nach einem der vorstehenden Ansprüche,
wobei eine Beleuchtungseinrichtung umfasst ist.

Fig. 1

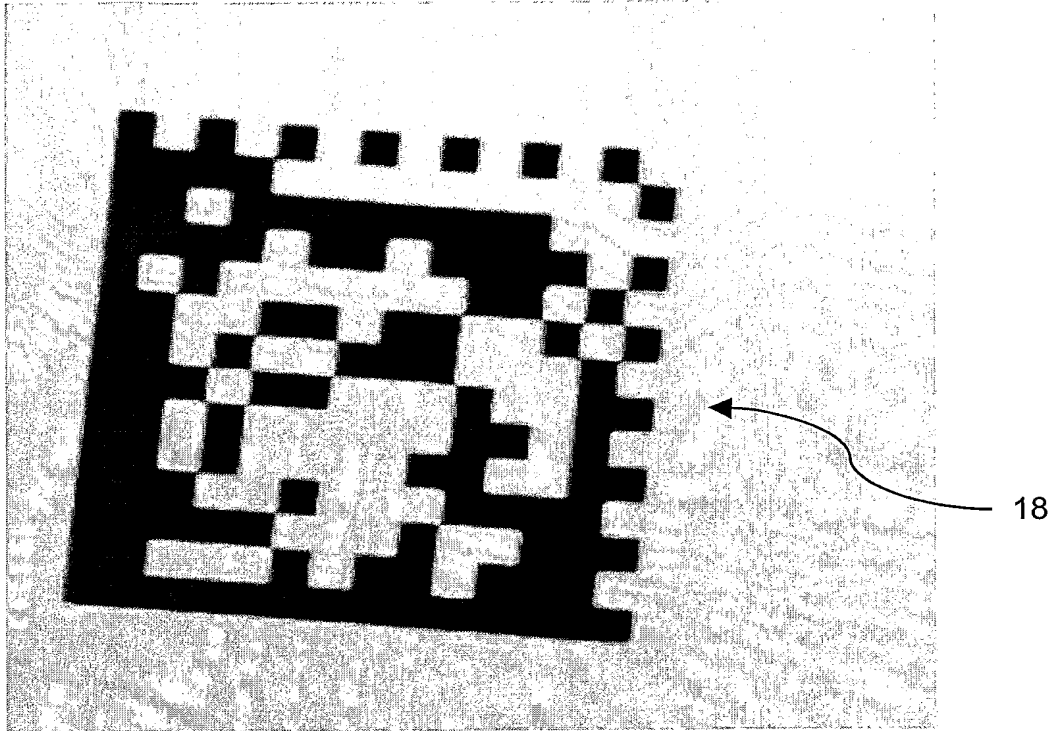


Fig. 2

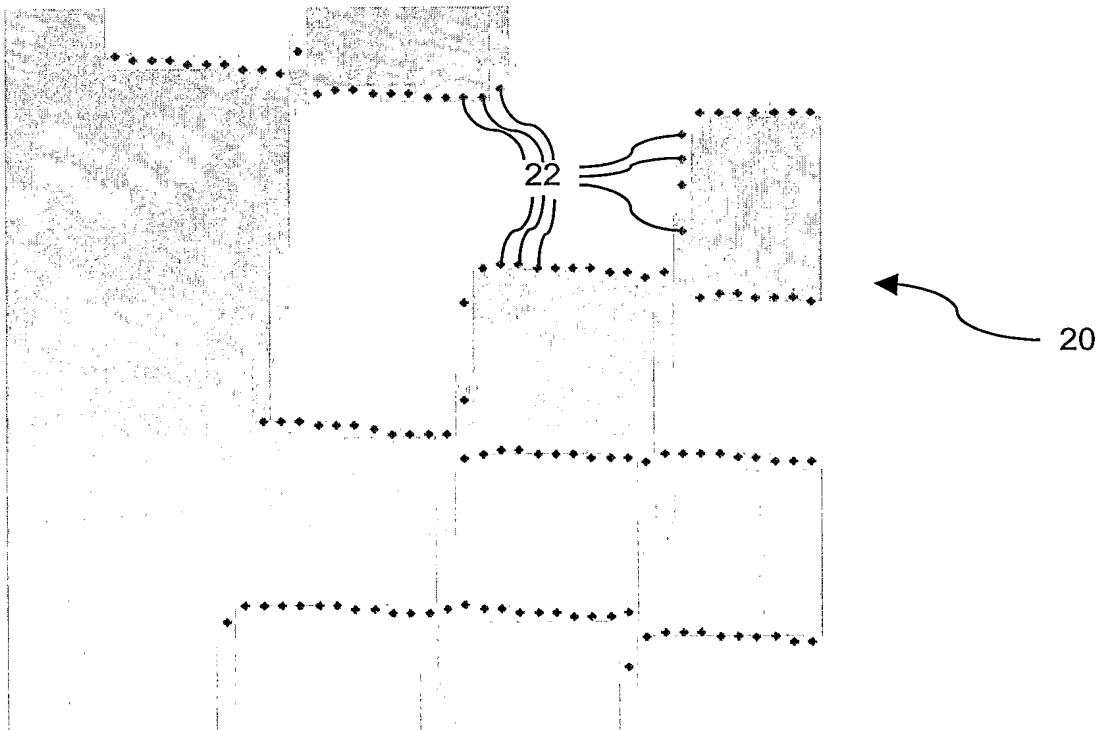


Fig. 3

NBD	1	2	3	4	5	6
1			3,1			
2			3,2			
3			3,3			
4			3,4			
5			3,5			
6						

NBD	1	2	3	4	5	6
1						
2			3,2			
3			3,3			
4			3,4			
5			3,5			
6			3,6			

Fig. 4

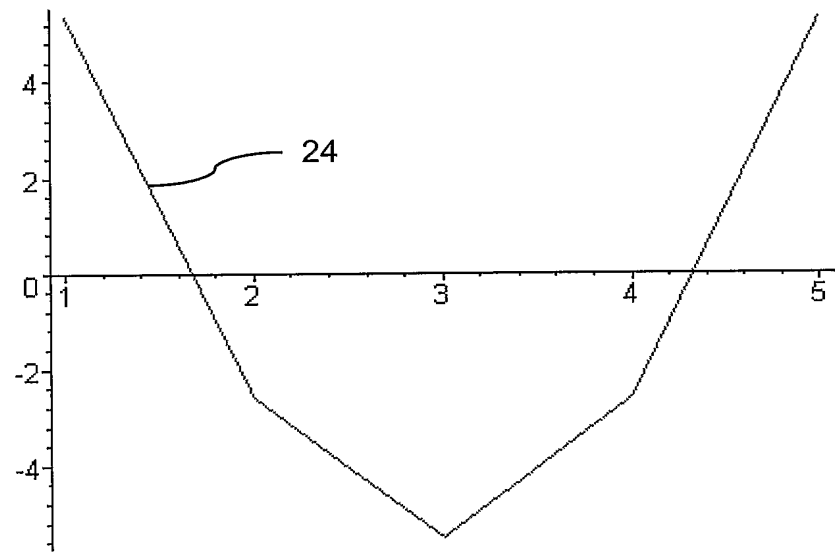


Fig. 5

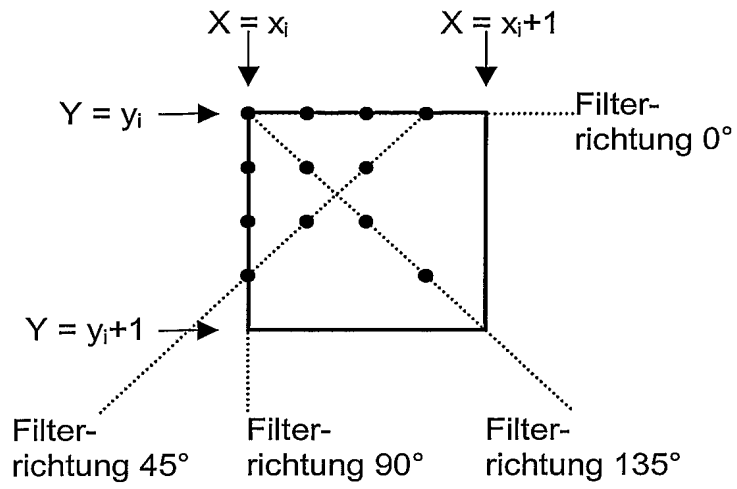


Fig. 6

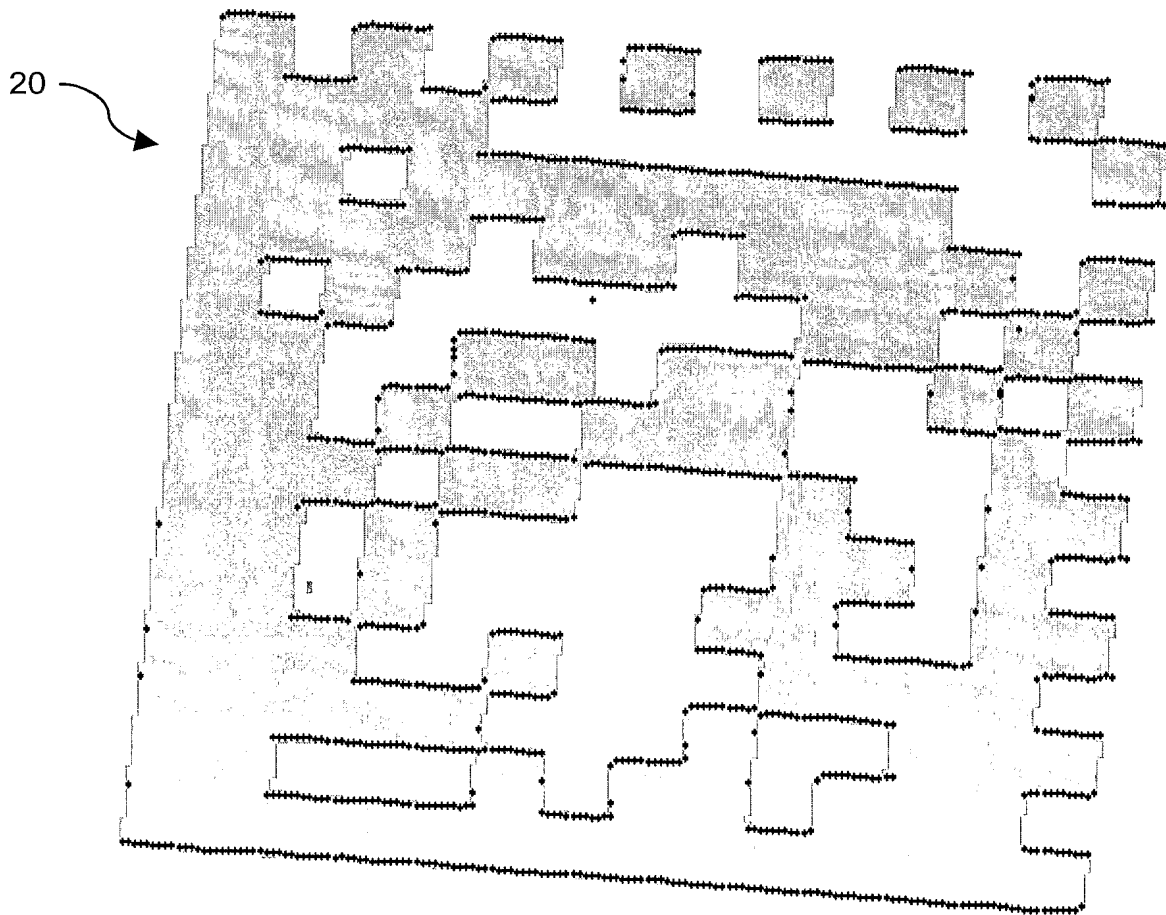


Fig. 7

Filterrichtung	Kantenrichtung	X-Koordinate des Konturpunktes i	Y-Koordinate des Konturpunktes i
0°	90°	$x_i + \Delta\delta$	y_i
90°	0°	x_i	$y_i + \Delta\delta$
45°	135°	$x_i + 0,75 - \Delta\delta$	$y_i + \Delta\delta$
135°	45°	$x_i + \Delta\delta$	$y_i + \Delta\delta$

Fig. 8

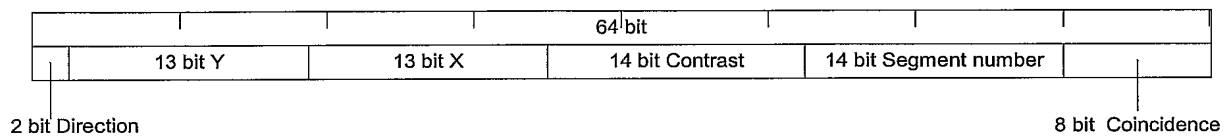


Fig. 9

```

00 18 76 B0 B6 00 01 00    40 1E AF 00 88 80 02 00
80 18 AE 00 1F 80 03 00    80 1E AE 4F CB 80 04 00
...
81 CC E2 C0 57 80 62 00    81 D4 E2 80 78 C0 5E 04
81 D4 E3 00 34 80 5E 04    81 D2 E3 80 2F 40 5E 00
...
D8 22 C9 D0 D2 12 B7 00    D8 22 CB 10 26 92 C5 00
00 00 00 00 00 00 00 00

```

Fig. 10

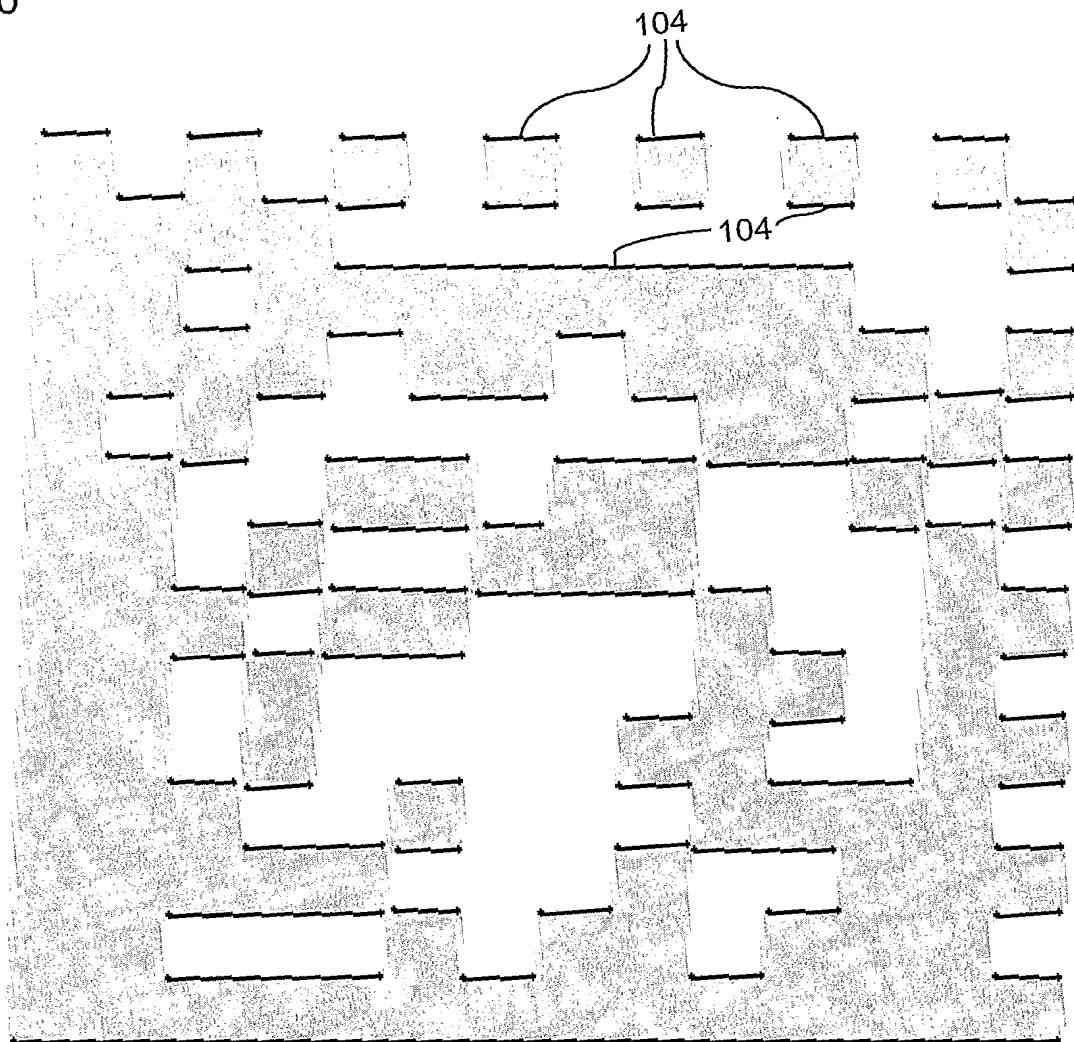


Fig. 11

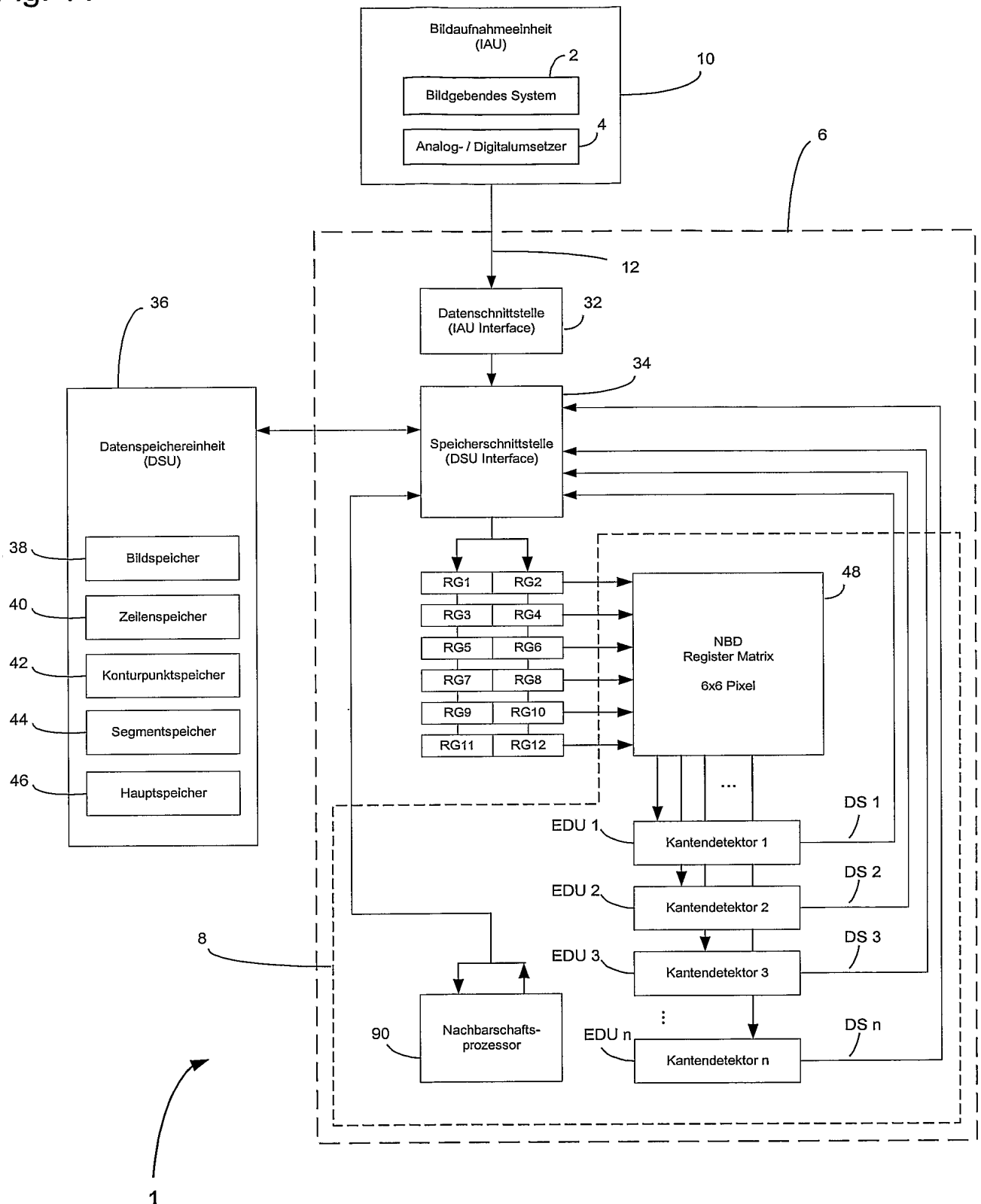


Fig. 12

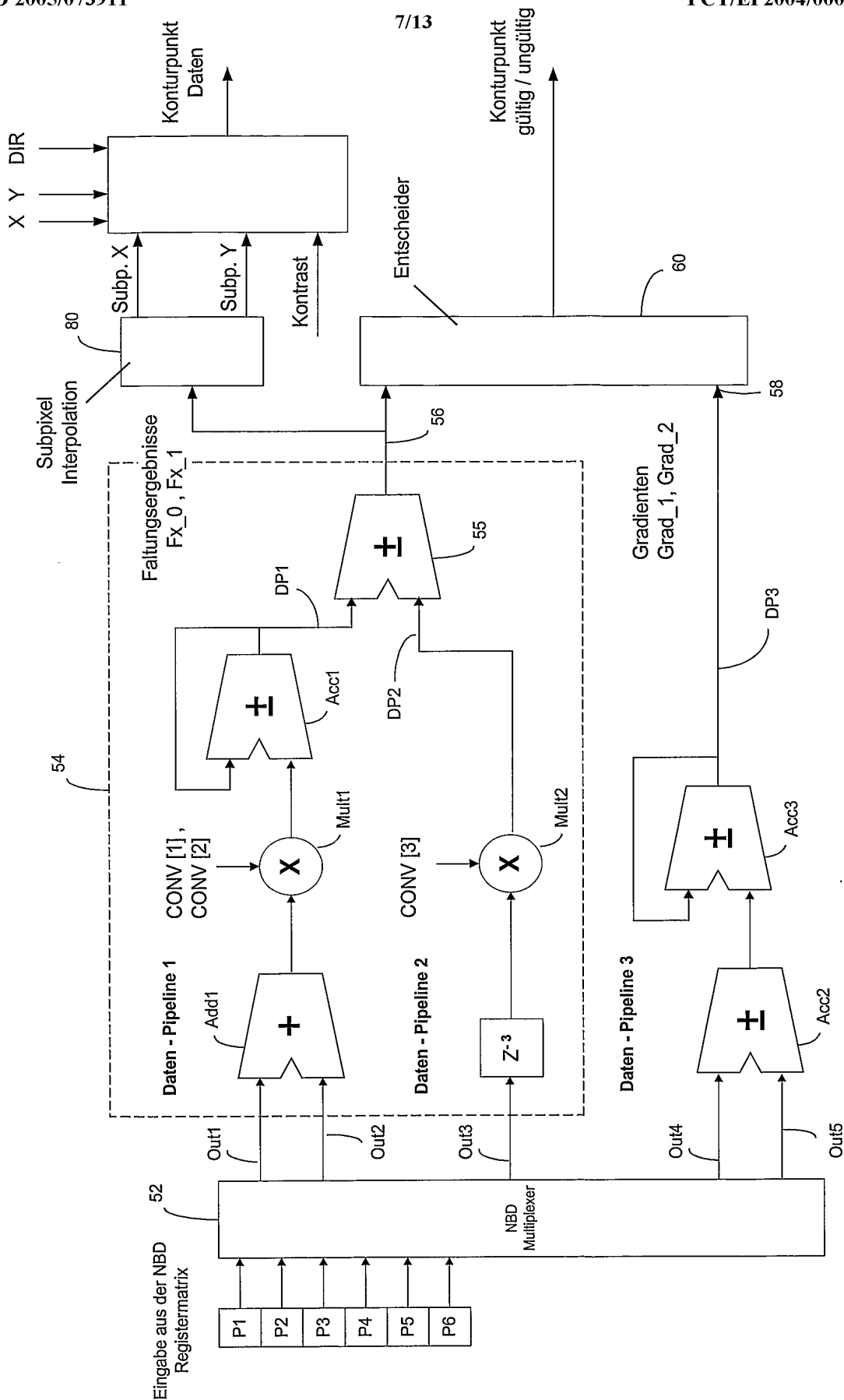


Fig. 13

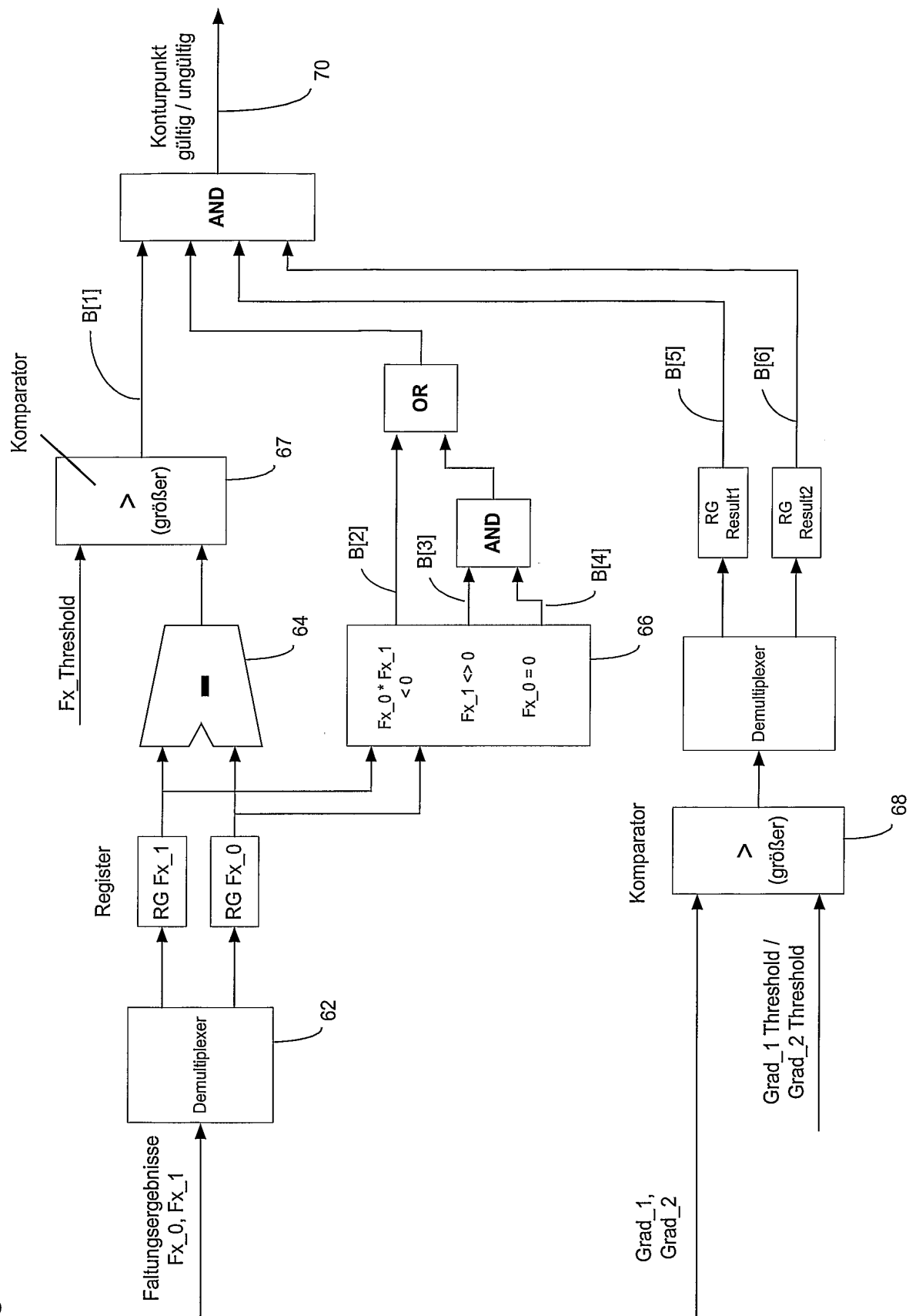


Fig. 14

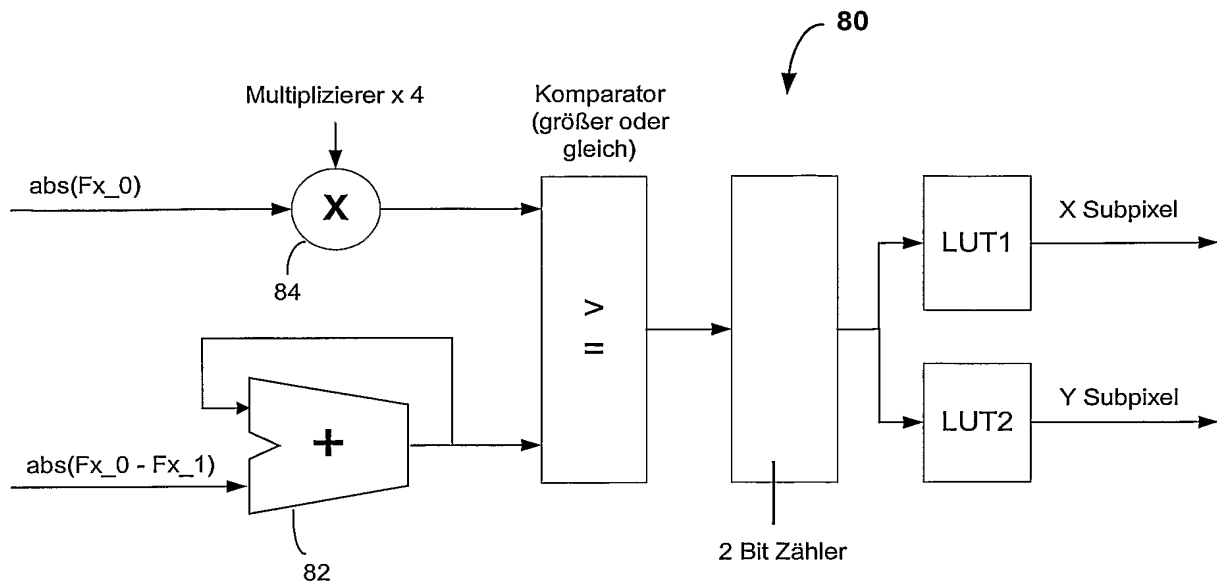


Fig. 15

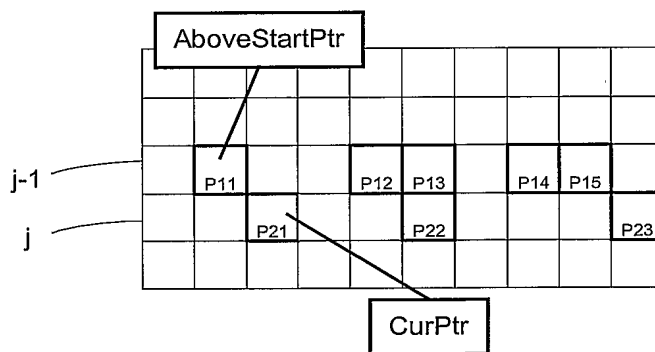


Fig. 16

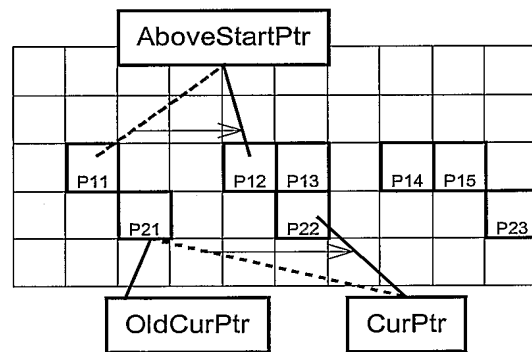


Fig. 17

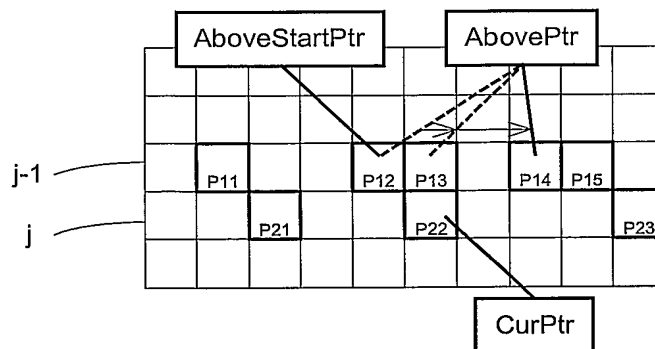
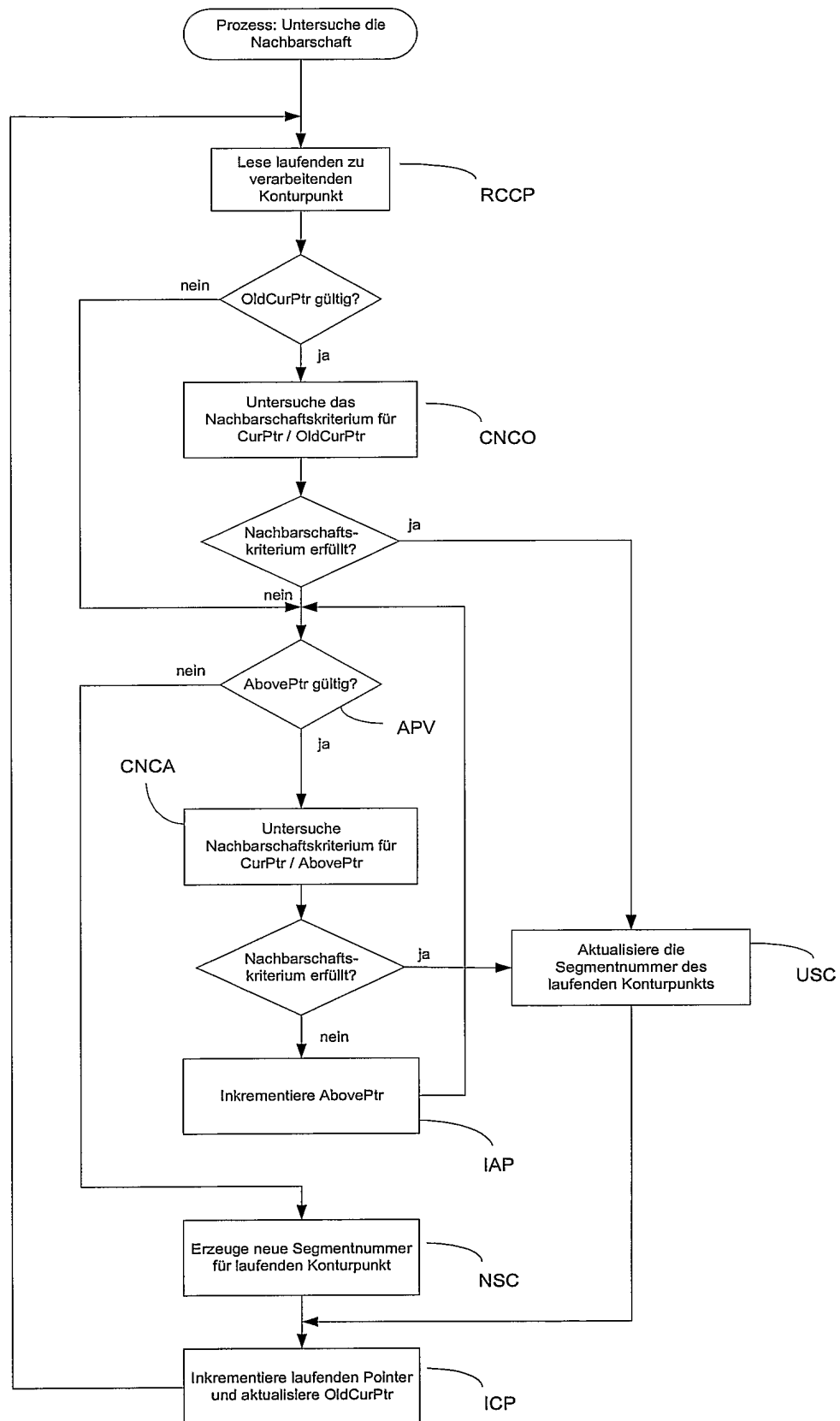


Fig. 18



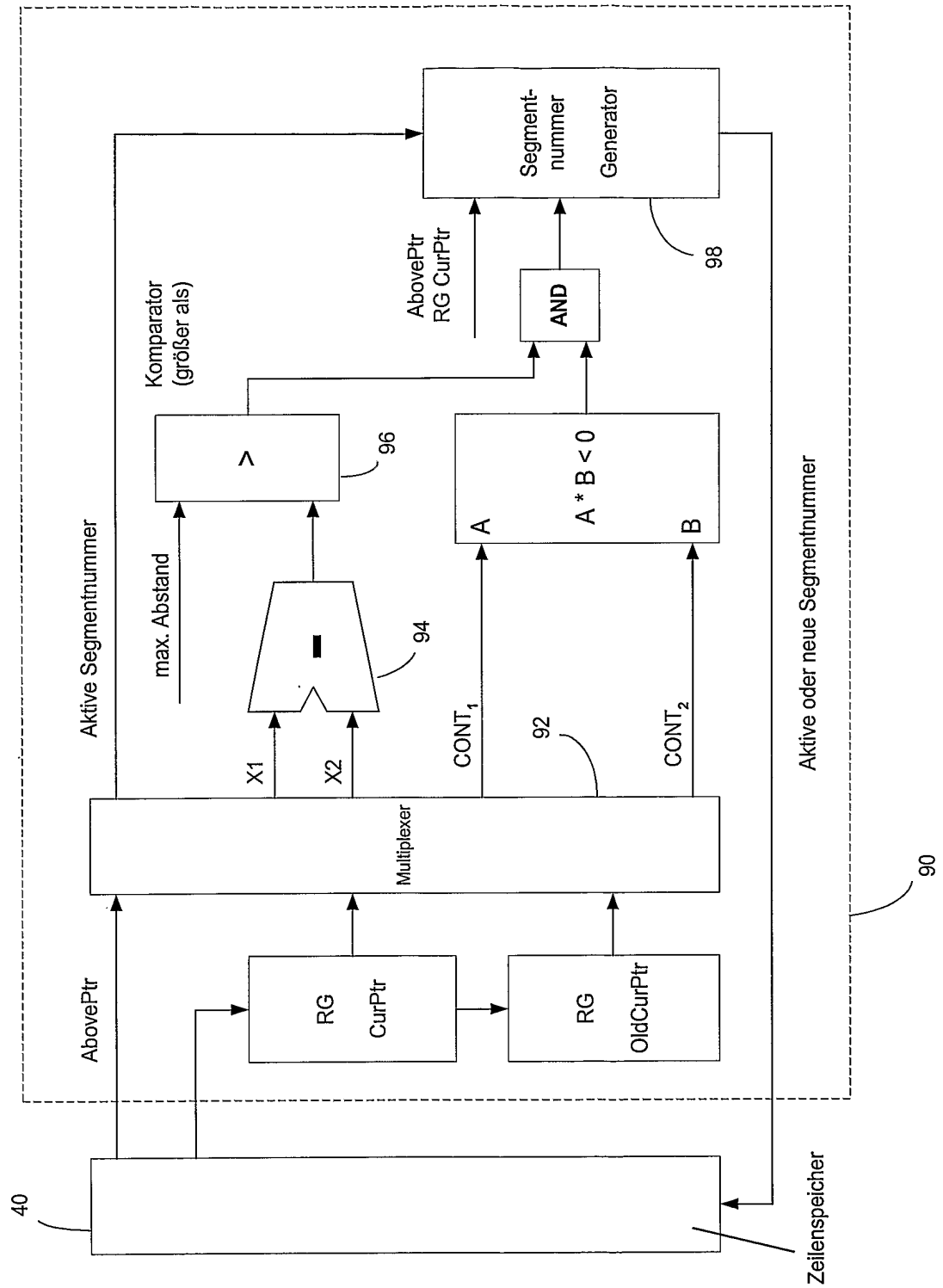


Fig. 19

Fig. 20

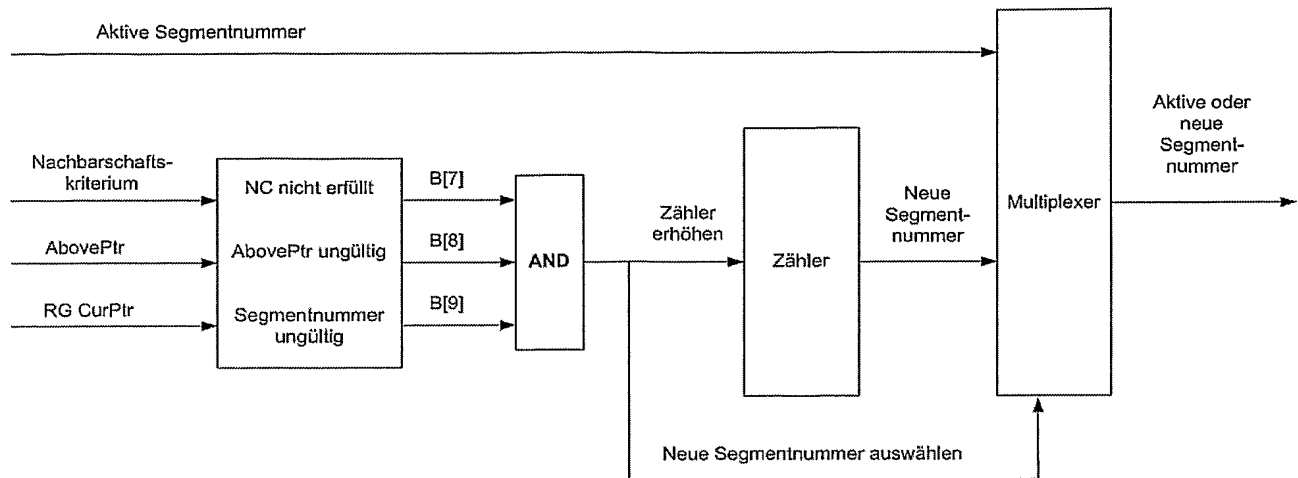


Fig. 21

			Datenpipeline DP1			Datenpipeline DP2		
Clock	Out1	Out2	Add1	Mult1	Acc1	Out3	Z ⁻³	Mult2
0	P2	P4				P3		
1	P1	P5	P2+P4			P3		
2	P3	P5	P1+P5	(P2+P4) CONV[2]		P4		
3	P2	P6	P3+P5	(P1+P5) CONV[1]		P4	P3	
4			P2+P6	(P3+P5) CONV[2]	(P2+P4) CONV[2] + (P1+P5) CONV[1]		P3	P3 CONV[3]
5				(P2+P6) CONV[1]			P4	P3 CONV[3]
6					(P3+P5) CONV[2] + (P2+P6) CONV[1]		P4	P4 CONV[3]
7								P4 CONV[3]
8								
9								
10								

[illegible]

Fig. 22

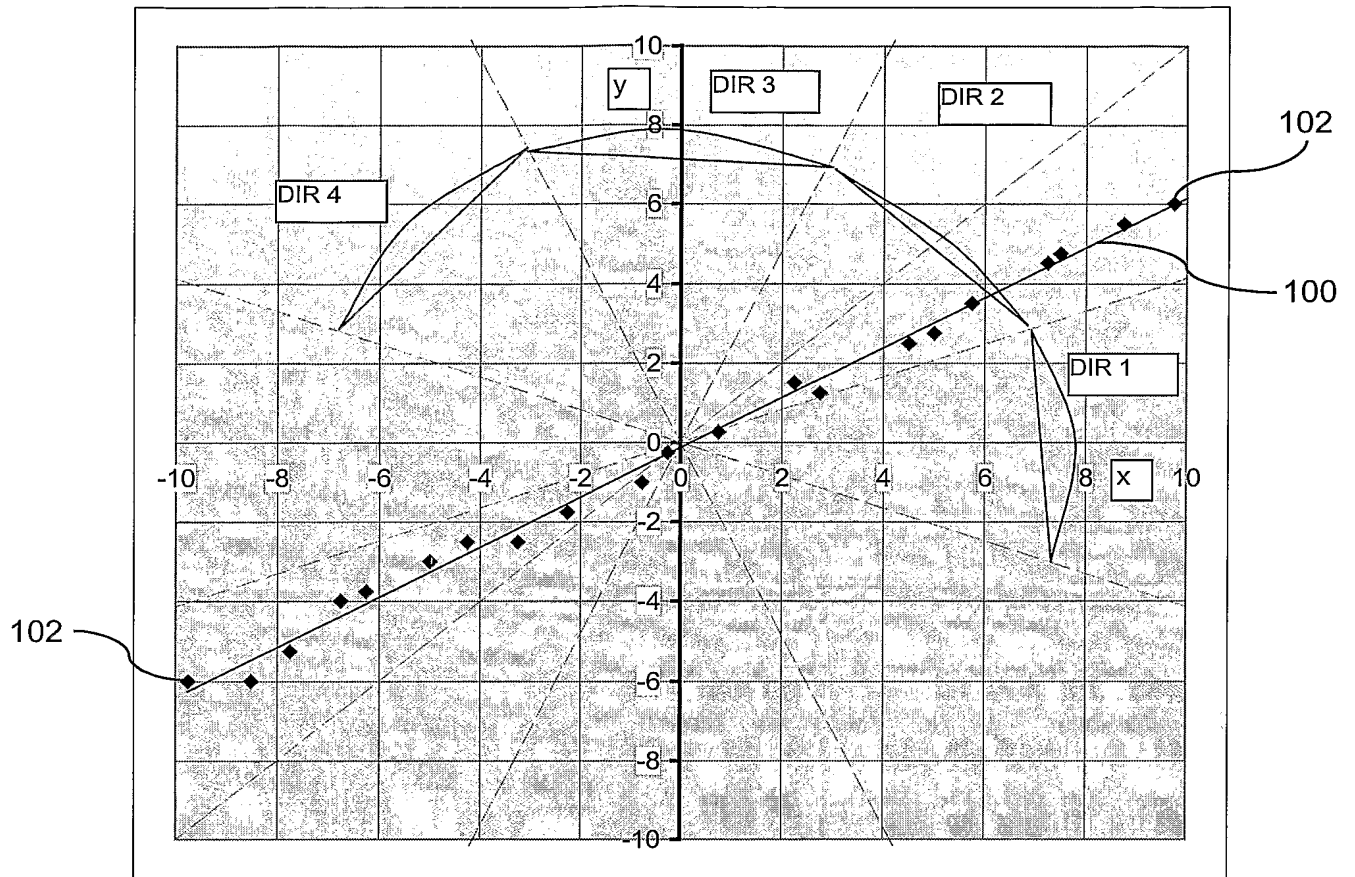
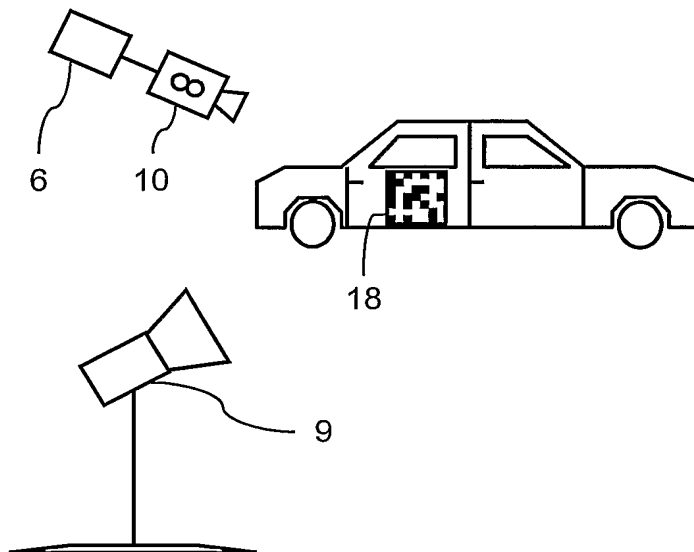


Fig. 23



INTERNATIONAL SEARCH REPORT

International Application No
PCT/EP2004/000831

A. CLASSIFICATION OF SUBJECT MATTER
IPC 7 G06T5/20 G06T5/00

According to International Patent Classification (IPC) or to both national classification and IPC

B. FIELDS SEARCHED

Minimum documentation searched (classification system followed by classification symbols)
IPC 7 G06T

Documentation searched other than minimum documentation to the extent that such documents are included in the fields searched

Electronic data base consulted during the international search (name of data base and, where practical, search terms used)

EPO-Internal, INSPEC, PAJ

C. DOCUMENTS CONSIDERED TO BE RELEVANT

Category *	Citation of document, with indication, where appropriate, of the relevant passages	Relevant to claim No.
X	WO 96/18158 A (UNITED PARCEL SERVICE INC) 13 June 1996 (1996-06-13)	1,4
Y	page 29, paragraph 2 - page 34, paragraph 1 page 9, last paragraph - page 12, paragraph 2 ----- -/--	2,3, 5-11,14, 16-18, 21, 24-29, 31-33, 37,38

☒ Further documents are listed in the continuation of box C.

☒ Patent family members are listed in annex.

* Special categories of cited documents :

- *A* document defining the general state of the art which is not considered to be of particular relevance
- *E* earlier document but published on or after the international filing date
- *L* document which may throw doubts on priority claim(s) or which is cited to establish the publication date of another citation or other special reason (as specified)
- *O* document referring to an oral disclosure, use, exhibition or other means
- *P* document published prior to the international filing date but later than the priority date claimed

- *T* later document published after the international filing date or priority date and not in conflict with the application but cited to understand the principle or theory underlying the invention
- *X* document of particular relevance; the claimed invention cannot be considered novel or cannot be considered to involve an inventive step when the document is taken alone
- *Y* document of particular relevance; the claimed invention cannot be considered to involve an inventive step when the document is combined with one or more other such documents, such combination being obvious to a person skilled in the art.
- * & * document member of the same patent family

Date of the actual completion of the international search

7 October 2004

Date of mailing of the international search report

05/11/2004

Name and mailing address of the ISA

European Patent Office, P.B. 5818 Patentlaan 2
NL - 2280 HV Rijswijk
Tel. (+31-70) 340-2040, Tx. 31 651 epo nl,
Fax: (+31-70) 340-3016

Authorized officer

Tibaux, M

INTERNATIONAL SEARCH REPORT

International Application No

PCT/EP2004/000831

C.(Continuation) DOCUMENTS CONSIDERED TO BE RELEVANT		
Category *	Citation of document, with indication, where appropriate, of the relevant passages	Relevant to claim No.
X	PAUL R. BEAUDET: "Time and Space Multiplexing Focal Plane Convolvers" PROCEEDINGS OF THE SPIE, vol. 1071, 16 January 1989 (1989-01-16), - 18 January 1989 (1989-01-18) pages 90-98, XP009037462 US	1
Y	page 90, paragraph 2 - page 91, paragraph 4	5-11,14, 16-18, 21, 24-29, 31-33, 37,38
Y	----- US 6 064 768 A (CHIN ROLAND T ET AL) 16 May 2000 (2000-05-16) column 13, line 37 - line 65 column 7, line 61 - line 63 column 15, line 16 - column 16, line 12 column 11, line 49 - line 57 column 9, line 35 - line 43 column 5, line 29 - line 67 -----	2,3
Y	EP 0 587 301 A (IBM) 16 March 1994 (1994-03-16) claim 1 -----	9-11,14, 17,18, 24,25
A	R. MASSEN ET AL.: "Real-time Symbol Extraction from Grey-level Images" PROCEEDINGS OF THE SPIE, vol. 860, 17 November 1987 (1987-11-17), - 18 November 1987 (1987-11-18) pages 19-25, XP009037482 US page 20, line 1 - last line ; figure 2 -----	9-38
A	US 5 151 953 A (LANDETA DAVID S) 29 September 1992 (1992-09-29) column 11, line 42 - column 13, line 17 column 4, line 42 - line 56 -----	1

INTERNATIONAL SEARCH REPORT

Information on patent family members

International Application No

PCT/EP2004/000831

Patent document cited in search report		Publication date	Patent family member(s)	Publication date
WO 9618158	A	13-06-1996	WO 9618158 A1	13-06-1996
			AU 1512195 A	26-06-1996
			CA 2208788 A1	13-06-1996
			DE 69420429 D1	07-10-1999
			DE 69420429 T2	23-03-2000
			DK 797804 T3	27-03-2000
			EP 0797804 A1	01-10-1997
			ES 2138187 T3	01-01-2000
			GR 3031902 T3	29-02-2000
US 6064768	A	16-05-2000	NONE	
EP 0587301	A	16-03-1994	US 5590220 A	31-12-1996
			EP 0587301 A2	16-03-1994
			JP 2641380 B2	13-08-1997
			JP 6195513 A	15-07-1994
US 5151953	A	29-09-1992	NONE	

INTERNATIONALER RECHERCHENBERICHT

Internationales Aktenzeichen
PCT/EP2004/000831

A. KLASSIFIZIERUNG DES ANMELDUNGSGEGENSTANDES
IPK 7 G06T5/20 G06T5/00

Nach der Internationalen Patentklassifikation (IPK) oder nach der nationalen Klassifikation und der IPK

B. RECHERCHIERTE GEBIETE

Recherchierter Mindestprüfstoff (Klassifikationssystem und Klassifikationssymbole)
IPK 7 G06T

Recherchierte aber nicht zum Mindestprüfstoff gehörende Veröffentlichungen, soweit diese unter die recherchierten Gebiete fallen

Während der internationalen Recherche konsultierte elektronische Datenbank (Name der Datenbank und evtl. verwendete Suchbegriffe)

EPO-Internal, INSPEC, PAJ

C. ALS WESENTLICH ANGESEHENE UNTERLAGEN

Kategorie*	Bezeichnung der Veröffentlichung, soweit erforderlich unter Angabe der in Betracht kommenden Teile	Betr. Anspruch Nr.
X	WO 96/18158 A (UNITED PARCEL SERVICE INC) 13. Juni 1996 (1996-06-13)	1, 4
Y	Seite 29, Absatz 2 - Seite 34, Absatz 1	2, 3, 5-11, 14, 16-18, 21, 24-29, 31-33, 37, 38
	Seite 9, letzter Absatz - Seite 12, Absatz 2	
	----- -/--	



Weitere Veröffentlichungen sind der Fortsetzung von Feld C zu entnehmen



Siehe Anhang Patentfamilie

* Besondere Kategorien von angegebenen Veröffentlichungen :

"A" Veröffentlichung, die den allgemeinen Stand der Technik definiert, aber nicht als besonders bedeutsam anzusehen ist

"E" älteres Dokument, das jedoch erst am oder nach dem internationalen Anmeldedatum veröffentlicht worden ist

"L" Veröffentlichung, die geeignet ist, einen Prioritätsanspruch zweifelhaft erscheinen zu lassen, oder durch die das Veröffentlichungsdatum einer anderen im Recherchenbericht genannten Veröffentlichung belegt werden soll oder die aus einem anderen besonderen Grund angegeben ist (wie ausgeführt)

"O" Veröffentlichung, die sich auf eine mündliche Offenbarung, eine Benutzung, eine Ausstellung oder andere Maßnahmen bezieht

"P" Veröffentlichung, die vor dem internationalen Anmeldedatum, aber nach dem beanspruchten Prioritätsdatum veröffentlicht worden ist

"T" Spätere Veröffentlichung, die nach dem internationalen Anmeldedatum oder dem Prioritätsdatum veröffentlicht worden ist und mit der Anmeldung nicht kollidiert, sondern nur zum Verständnis des der Erfindung zugrundeliegenden Prinzips oder der ihr zugrundeliegenden Theorie angegeben ist

"X" Veröffentlichung von besonderer Bedeutung; die beanspruchte Erfindung kann allein aufgrund dieser Veröffentlichung nicht als neu oder auf erfinderischer Tätigkeit beruhend betrachtet werden

"Y" Veröffentlichung von besonderer Bedeutung; die beanspruchte Erfindung kann nicht als auf erfinderischer Tätigkeit beruhend betrachtet werden, wenn die Veröffentlichung mit einer oder mehreren anderen Veröffentlichungen dieser Kategorie in Verbindung gebracht wird und diese Verbindung für einen Fachmann naheliegend ist

"&" Veröffentlichung, die Mitglied derselben Patentfamilie ist

Datum des Abschlusses der internationalen Recherche

7. Oktober 2004

Absendedatum des internationalen Recherchenberichts

05/11/2004

Name und Postanschrift der Internationalen Recherchenbehörde
Europäisches Patentamt, P.B. 5818 Patentlaan 2
NL - 2280 HV Rijswijk
Tel. (+31-70) 340-2040, Tx. 31 651 epo nl,
Fax: (+31-70) 340-3016

Bevollmächtigter Bediensteter

Tibaux, M

C.(Fortsetzung) ALS WESENTLICH ANGESEHENE UNTERLAGEN		
Kategorie*	Bezeichnung der Veröffentlichung, soweit erforderlich unter Angabe der in Betracht kommenden Teile	Betr. Anspruch Nr.
X	PAUL R. BEAUDET: "Time and Space Multiplexing Focal Plane Convolvers" PROCEEDINGS OF THE SPIE, Bd. 1071, 16. Januar 1989 (1989-01-16), - 18. Januar 1989 (1989-01-18) Seiten 90-98, XP009037462 US	1
Y	Seite 90, Absatz 2 - Seite 91, Absatz 4	5-11,14, 16-18, 21, 24-29, 31-33, 37,38
Y	----- US 6 064 768 A (CHIN ROLAND T ET AL) 16. Mai 2000 (2000-05-16) Spalte 13, Zeile 37 - Zeile 65 Spalte 7, Zeile 61 - Zeile 63 Spalte 15, Zeile 16 - Spalte 16, Zeile 12 Spalte 11, Zeile 49 - Zeile 57 Spalte 9, Zeile 35 - Zeile 43 Spalte 5, Zeile 29 - Zeile 67	2,3
Y	----- EP 0 587 301 A (IBM) 16. März 1994 (1994-03-16) Anspruch 1	9-11,14, 17,18, 24,25
A	----- R. MASSEN ET AL.: "Real-time Symbol Extraction from Grey-level Images" PROCEEDINGS OF THE SPIE, Bd. 860, 17. November 1987 (1987-11-17), - 18. November 1987 (1987-11-18) Seiten 19-25, XP009037482 US Seite 20, Zeile 1 - letzte Zeile ; Abbildung 2	9-38
A	----- US 5 151 953 A (LANDETA DAVID S) 29. September 1992 (1992-09-29) Spalte 11, Zeile 42 - Spalte 13, Zeile 17 Spalte 4, Zeile 42 - Zeile 56 -----	1

INTERNATIONALER RECHERCHENBERICHT

Angaben zu Veröffentlichungen, die zur selben Patentfamilie gehören

Internationales Aktenzeichen

PCT/EP2004/000831

Im Recherchenbericht angeführtes Patentdokument		Datum der Veröffentlichung	Mitglied(er) der Patentfamilie		Datum der Veröffentlichung
WO 9618158	A	13-06-1996	WO	9618158 A1	13-06-1996
			AU	1512195 A	26-06-1996
			CA	2208788 A1	13-06-1996
			DE	69420429 D1	07-10-1999
			DE	69420429 T2	23-03-2000
			DK	797804 T3	27-03-2000
			EP	0797804 A1	01-10-1997
			ES	2138187 T3	01-01-2000
			GR	3031902 T3	29-02-2000
<hr/>					
US 6064768	A	16-05-2000	KEINE		
<hr/>					
EP 0587301	A	16-03-1994	US	5590220 A	31-12-1996
			EP	0587301 A2	16-03-1994
			JP	2641380 B2	13-08-1997
			JP	6195513 A	15-07-1994
<hr/>					
US 5151953	A	29-09-1992	KEINE		